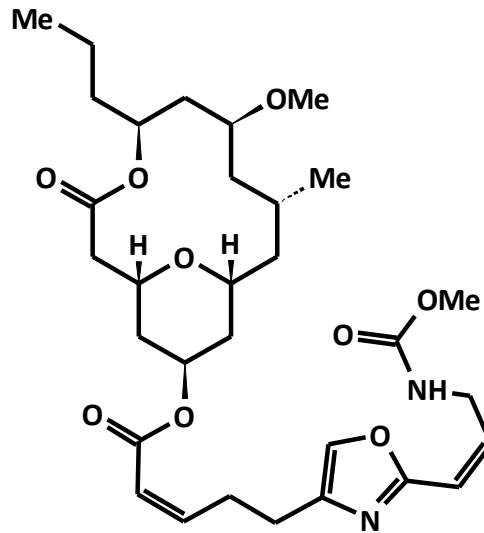


# Totalsynthese von **(+)-Neopeltolid** nach Sasaki et al.

S. Freitag, A. Wolf, P. Strubel,  
K. Schnaars, R. Zimmermann



H. Fuwa, A.Saito, M. Sasaki, Angew. Chemie 2010, 122, 3105-3108

# 1. Allgemeines

## Entdeckung

- 2007 Amy E. Wright...Entnahme zweier Proben eines Schwammes der Gattung *Daedalopelta* an Nordwestküste Jamaicas in Meerestiefe von 400 m
- über Vakuum-Säulen-Chromatografie konnte Neopeltolid als farbloses Öl gewonnen werden
- Struktur der unbekannten Substanz konnte mittels spektroskopischer Untersuchungen aufgeklärt werden



## Verwendung

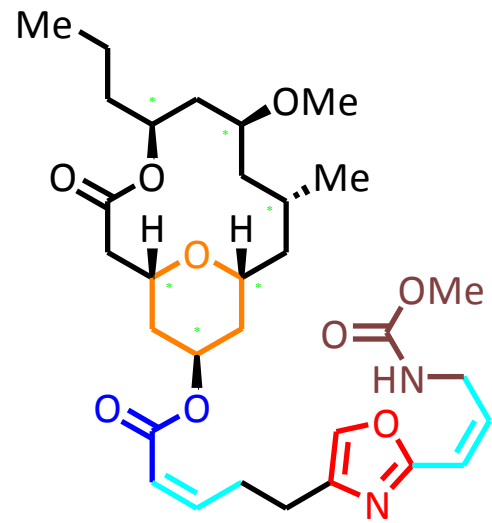
- Neopeltolid inhibiert A-549 Lungen-Adenokarzinom ( $IC_{50}=1,2 \text{ nM}$ )
- Inhibition der mitochondrialen ATP-Synthese



A. E. Wright, *J. Nat. Prod.* 2007, 70, 412-416

## 1.1 Strukturmerkmale

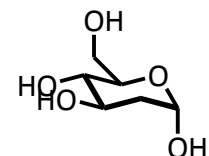
- **14-gliedriges Makrolacton**
- **dreifach substituierte 2,6-cis-Tetrahydropyran-Untereinheit**
- **sechs stereogene Zentren**
- **C<sub>5</sub> acylierte mit oxazol- und carbamathaltige Seitenkette**
- **Z-Konfigurierte Doppelbindungen**



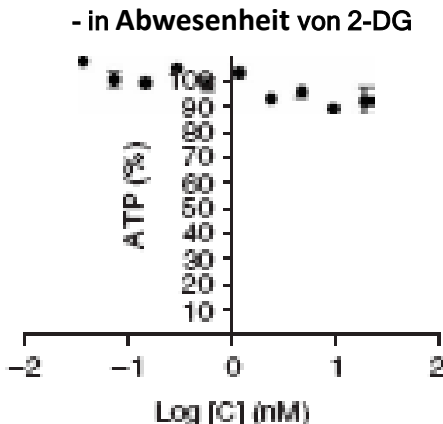
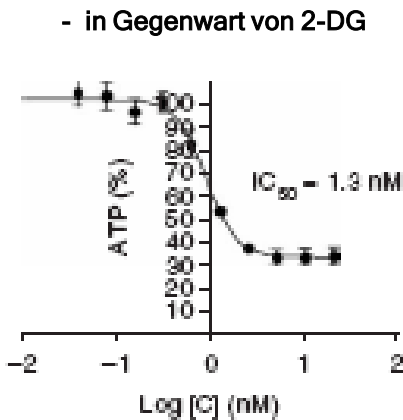
## 1.2 Blockierung der ATP-Synthase

- zunächst konnte effektive Zellwachstumsblockierung in Hefe durch Verbindung mit Galactose oder Glycerin festgestellt werden
- gentechnische Analysen...Schlussfolgerung: evtl. Blockierung der ATP-Synthase
- vier Komplexe in der Atmungskette konnten beteiligt sein, Auswertungen wiesen auf Cytochrom bc1-Komplex als zelluläres Target

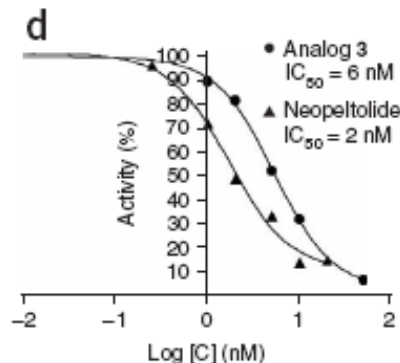
2-Desoxy-D-glucose (2-DG):



### Inhibition von A549-Zelllinie



### Enzymatische Aktivität des bc1-Komplexes



S. A. Kozmin, *nat. chem. bio.* 2008, 4, 418

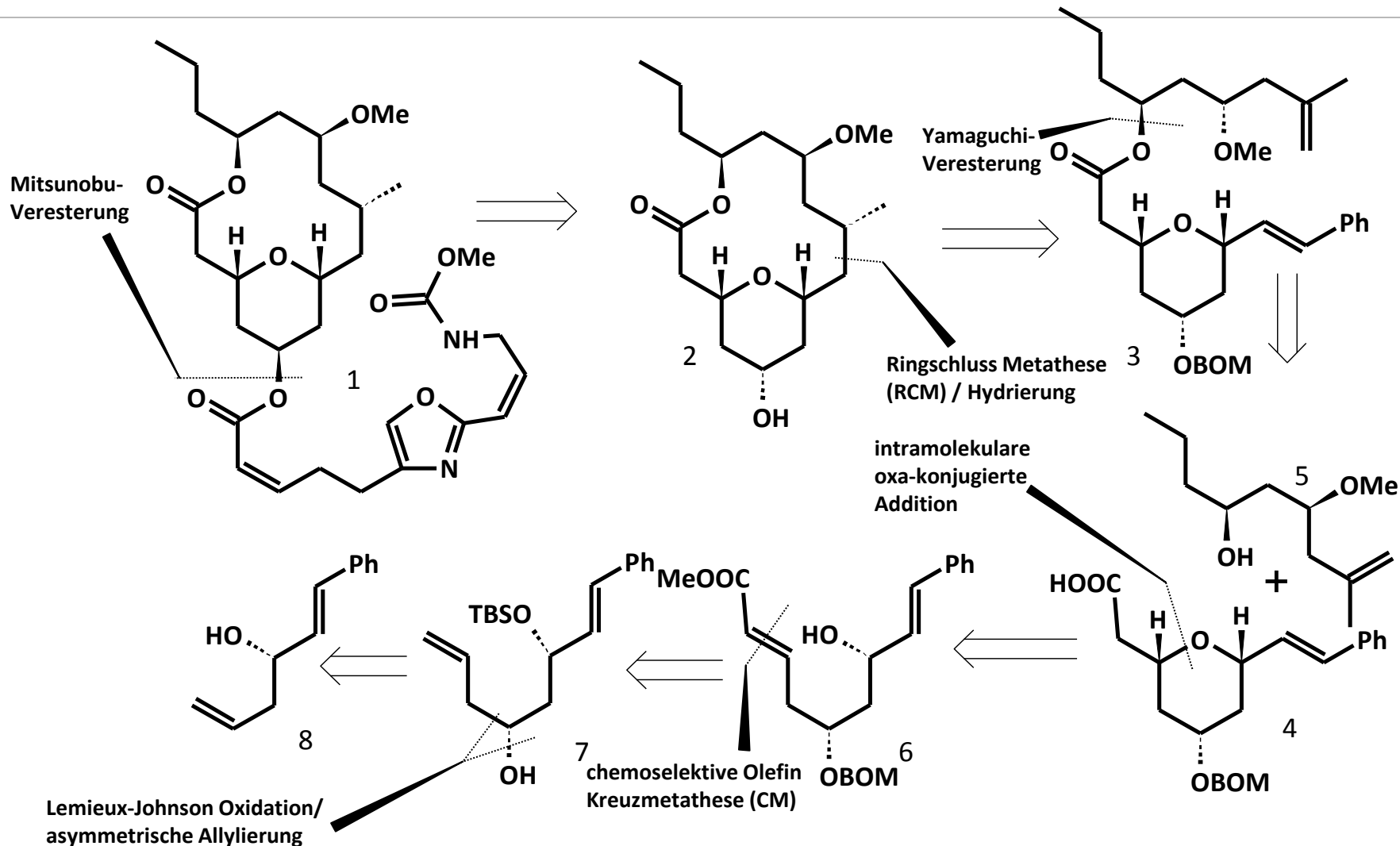
## 1.3 Stoffgruppe Makrolacton

- enthalten intramolekulare Estergruppe
- entstehen aus Hydroxycarbonsäuren unter Wasserabspaltung
- in der Regel spricht man ab 13 Ringgliedern von einem Macrolacton
- Makrocyclen mit Lactonfunktion sind wegen möglicher biologischer oder pharmazeutischer Wirkung bedeutende Zielstrukturen
- traditionelle Cyclisierungen: Yamaguchi-Reaktion, Mitsunobu-Reaktion

Reinhard Brückner, *Reaktionsmechanismen*, 3. Auflage, S. 297

E. A. Crane, K. A. Scheidt, *Angew. Chem.* 2010, 122, 8494

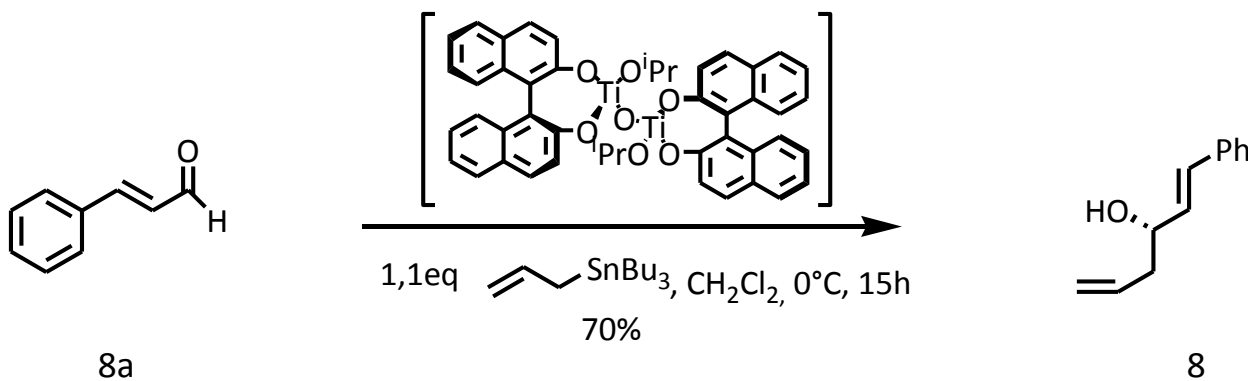
# Retrosynthese



Lemieux-Johnson Oxidation/  
asymmetrische Allylierung

H. Fuwa, A. Saito, M. Sasaki, Angewandte Chemie International Edition 2010, 49, 3041-3044

# Katalytische asymmetrische Allylierung



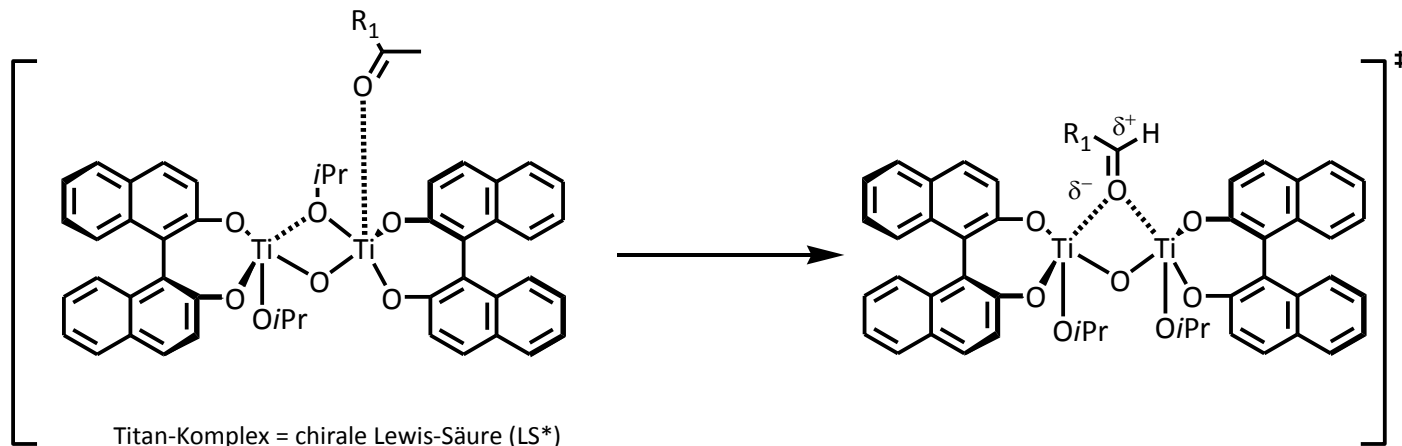
H. Hanawa, K. Maruoka, *Chem. Eur. J.* 2003, 9, 4405-4413

K. Maruoka, *Pure Appl. Chem.* 2002, 74, 123-128

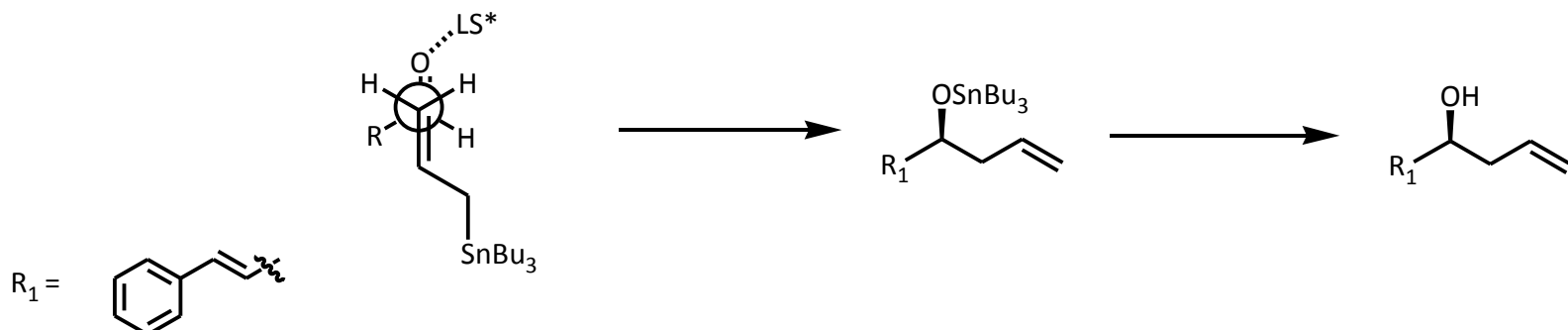
S. E. Denmark, J. R. Heemstra, *Angew. Chem.* 2005, 117, 4760-4777

# Katalytische asymmetrische Allylierung

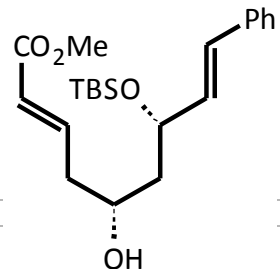
Mechanismusvorschlag:



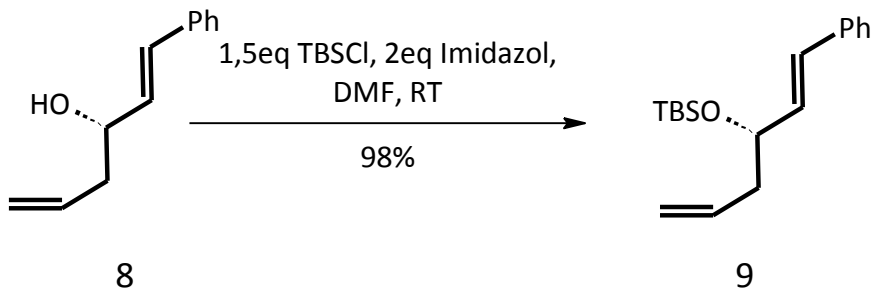
offener Übergangszustand



# (2E,5R,7S,8E)-5,7- Dihydroxy-9-phenylnona-2,8-diensäure



## Einführung einer Silyletherschutzgruppe

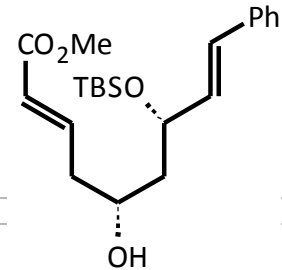


- Einführung einer sterisch großen Silylether-Schutzgruppe
- Verhindert Eliminierung
- Doppelbindung angrenzend zur Phenylgruppe wird sterisch abgeschirmt

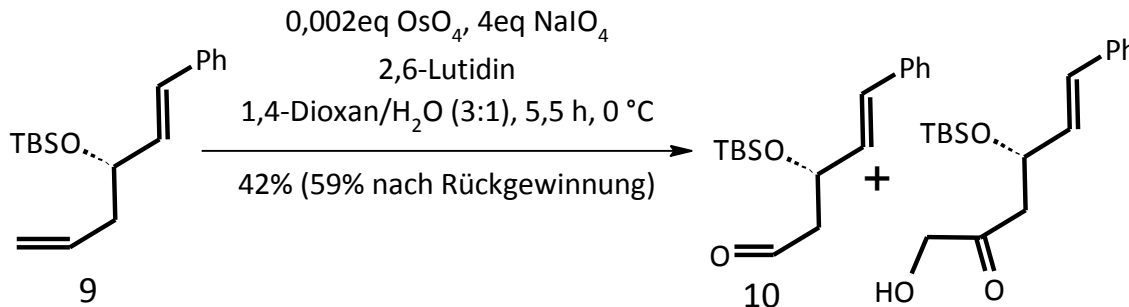
J. Robertson, Protecting Group Chemistry, 1. Auflage, Oxford Univ. Press, 2002, 74ff.

A. Barthel, D. Bauer, H. Brinkmann, P. Forster, S. Gebke, P. Gotze, „Schutzgruppen“, OCIII, Vortrag gehalten am 04.11.2010

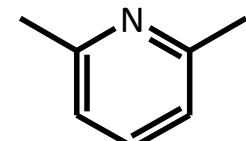
# (2E,5R,7S,8E)-5,7- Dihydroxy-9-phenylnona-2,8-diensäure



## Chemoselektive und oxidative Spaltung von Olefinen



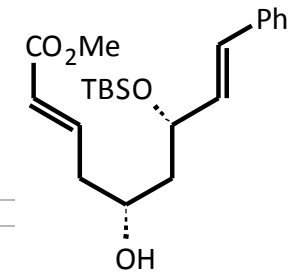
- chemoselektive Spaltung der endständigen Doppelbindung
  - erst Dihydroxylierung
  - anschließend oxidative Spaltung
- Rückgewinnung von 29 % Edukt
- verbesserte Methode zur klassischen Lemieux-Johnson-Oxidation  
nach Wensheng Yu, Yan Mei, Ying Kang, Zhengmao Hua, and Zhendong Jin
  - Unterdrückung von Nebenprodukten
  - höhere Ausbeute
- 2,6-Lutidin fungiert als schwache Base
  - Ligandenbeschleunigung durch Adduktbildung mit OsO<sub>4</sub>



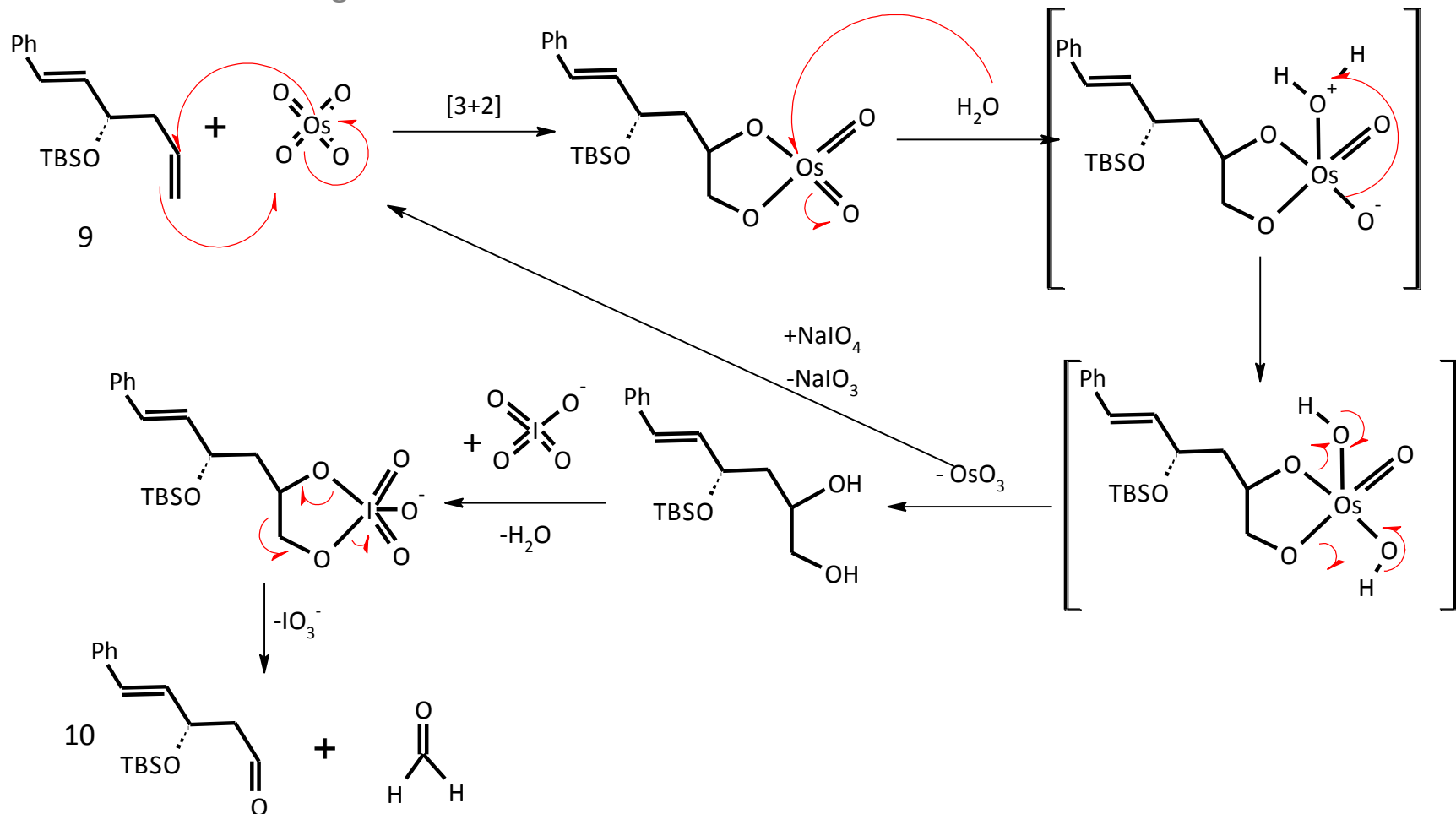
2,6-Lutidin

R. Brückner, Reaktionsmechanismen, 3. Auflage, Spektrum Akademischer Verlag, 2009, S.760f.  
W. Yu, Y. Mei, Y. Kang, Z. Hua, ORGANIC LETTERS, 2004, Vol. 6, No. 19, 3217-3219

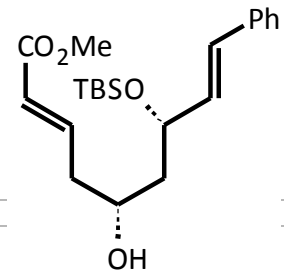
# (2E,5R,7S,8E)-5,7-Dihydroxy-9-phenylnona-2,8-diensäure



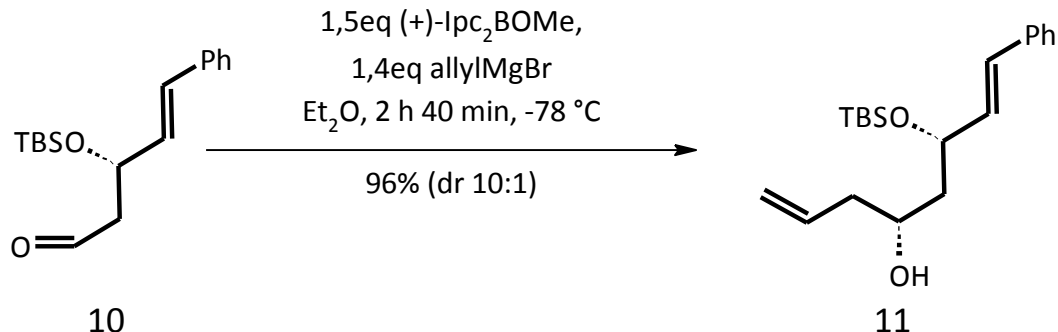
Mechanismusvorschlag:



# (2E,5R,7S,8E)-5,7- Dihydroxy-9-phenylnona-2,8-diensäure



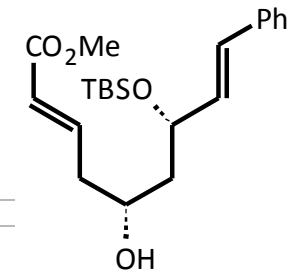
## Asymmetrische Allylierung



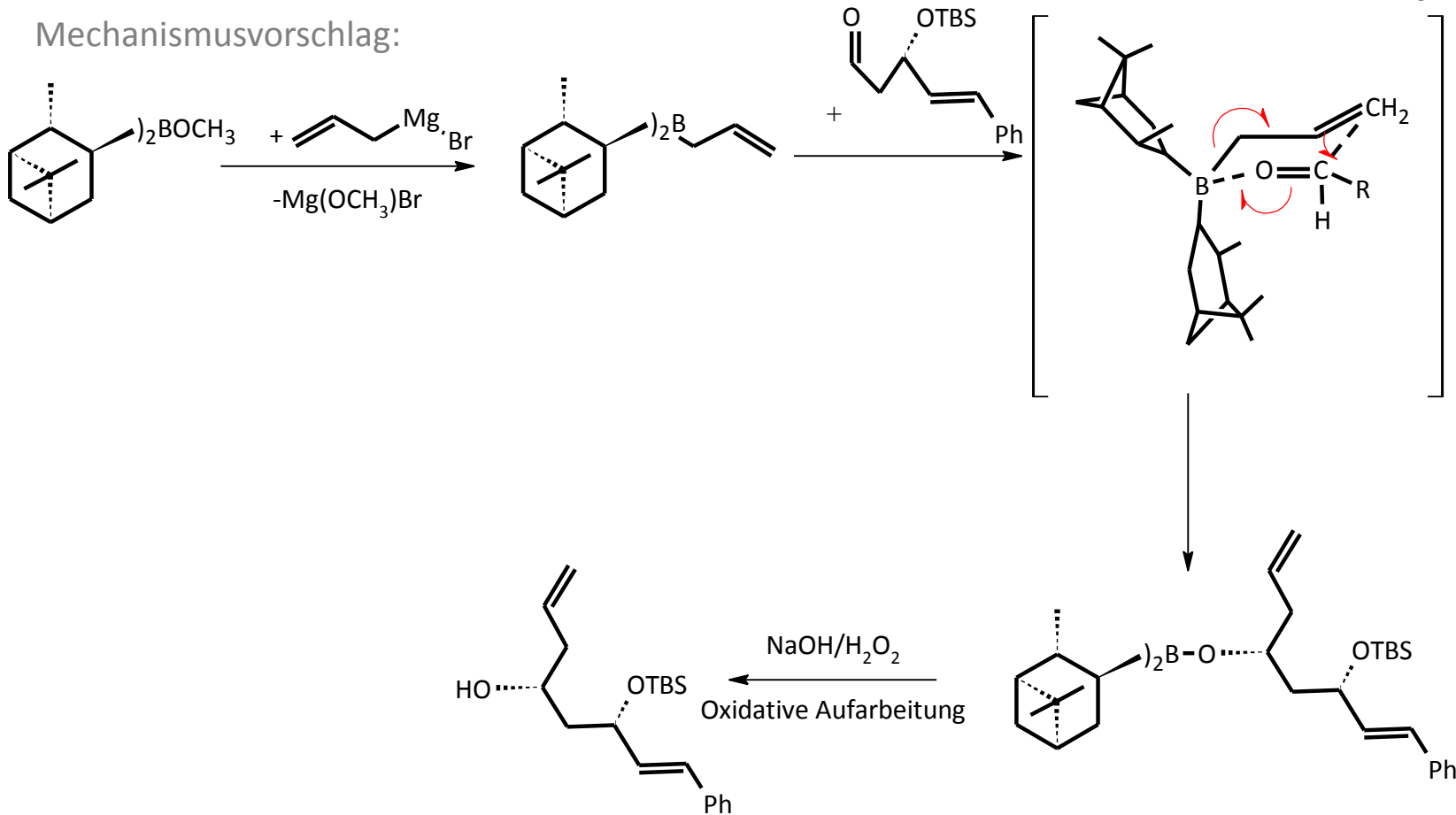
- stereoselektive Allylierung am Aldehyd nach *Brown und Jadhav*
- stereogene Information erzeugt durch die Isopinocampheol-Liganden
- Erzeugung der reaktiven Komponente *in situ*
- Reaktion über einen sechsgliedrigen Übergangszustand

H. C. Brown, P. K. Jadhav, J. Am. Chem. Soc., 1983, 105, 2092-2093

# (2E,5R,7S,8E)-5,7- Dihydroxy-9-phenylnona-2,8-diensäure

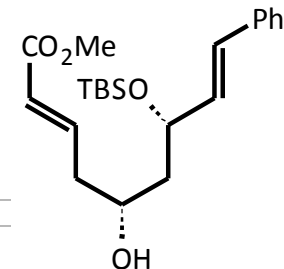


Mechanismusvorschlag:

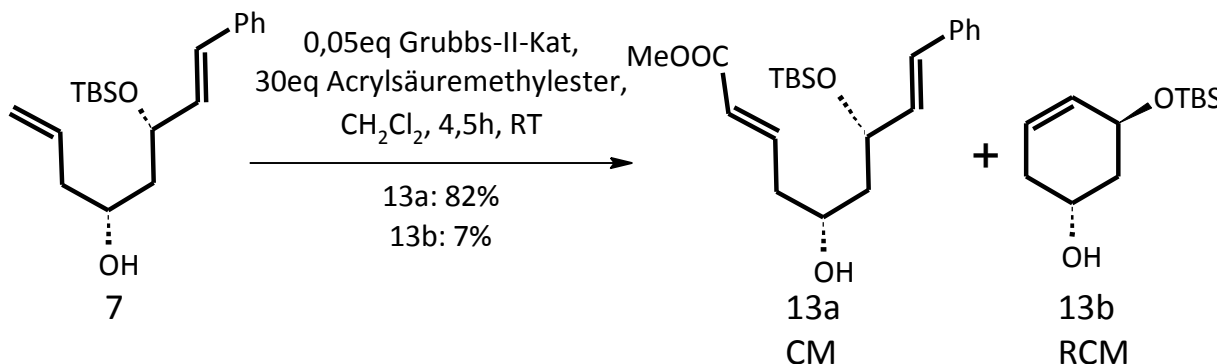


H. C. Brown, P. K. Jadhav, J. Am. Chem. Soc., 1983, 105, 2092-2093

# (2E,5R,7S,8E)-5,7-Dihydroxy-9-phenylnona-2,8-diensäure



## Chemoselektive Olefin-Kreuzmetathese

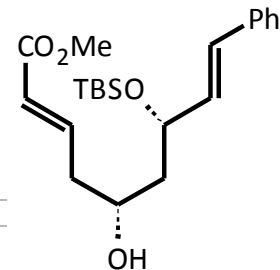


- E-selektive Olefin-Kreuzmetathese an der endständigen, elektronenreichen Doppelbindung mit einem elektronenarmen Acrylsäure-Derivat
- Ziel: Unterdrückung der Konkurrenzreaktion, der Ringschlusskreuzmetathese
- Untersuchungen zur Wahl des richtigen Katalysators
  - Grubbs- Katalysator der 2. Generation oder Hoveyda-Blechert- Katalysator der 2. Generation
- Variierung der Reaktionsparameter
  - Entdeckung einer dirigierenden Wirkung der Hydroxygruppe
  - 30-facher Überschuss an Acrylsäuremethylester

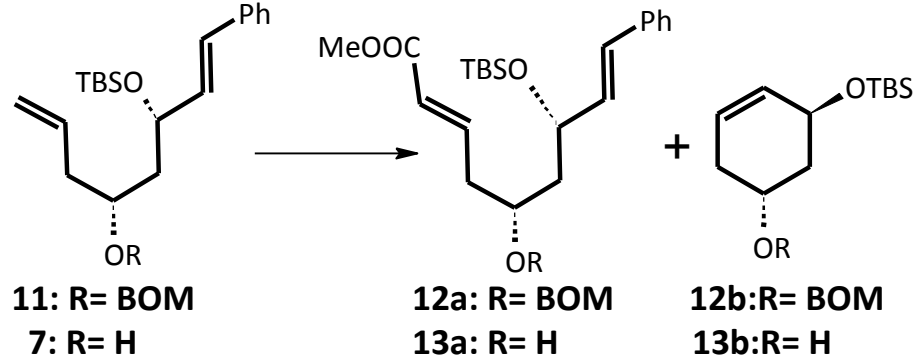
H. Fuwa, A. Saito, M. Sasaki, Angew. Chem. 2010, 122, 3105

C. Keßler, F. Borrmann, C. Eckholdt, D. Gieseler, P. Jehnichen, I. Beyer, „Olefinmetathese“, OCIII, Vortrag gehalten am 18.11.2010

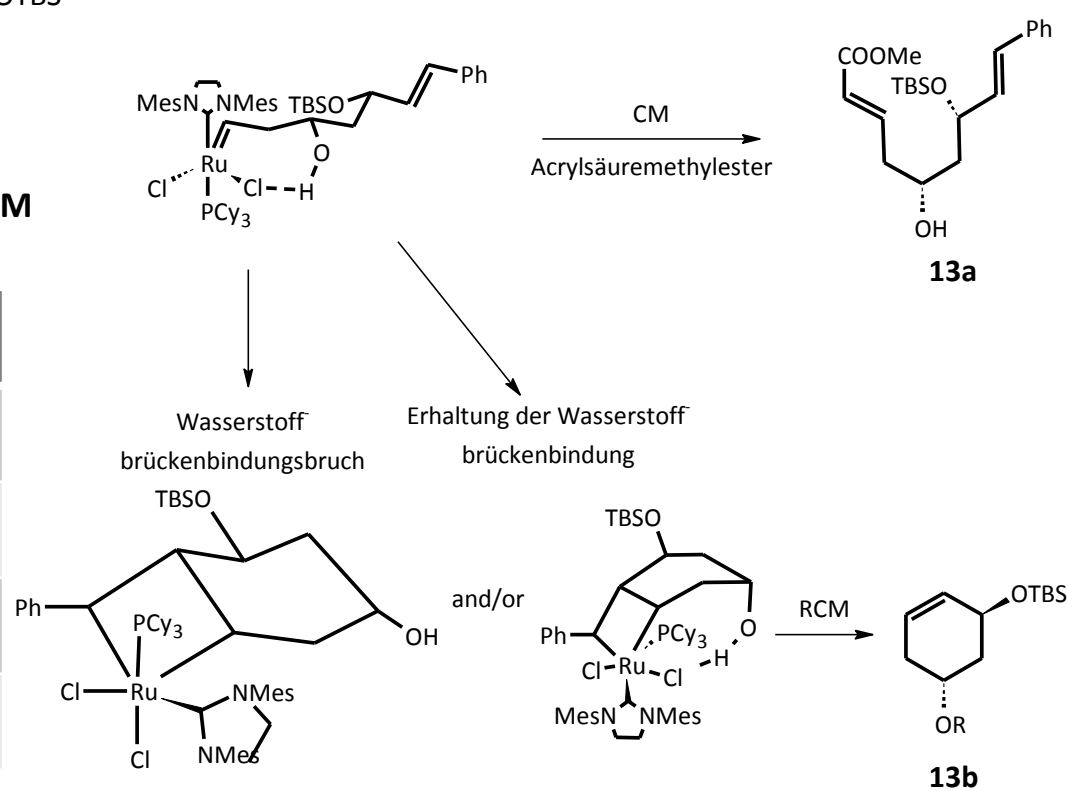
# (2E,5R,7S,8E)-5,7- Dihydroxy-9-phenylnona-2,8-diensäure



**- Variierung der Reaktionsparameter**

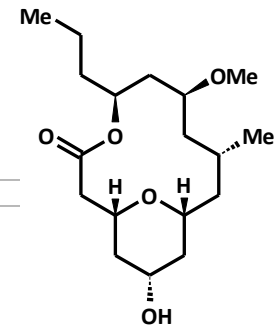


**- Zwischenprodukt während der Kreuzmetathese**

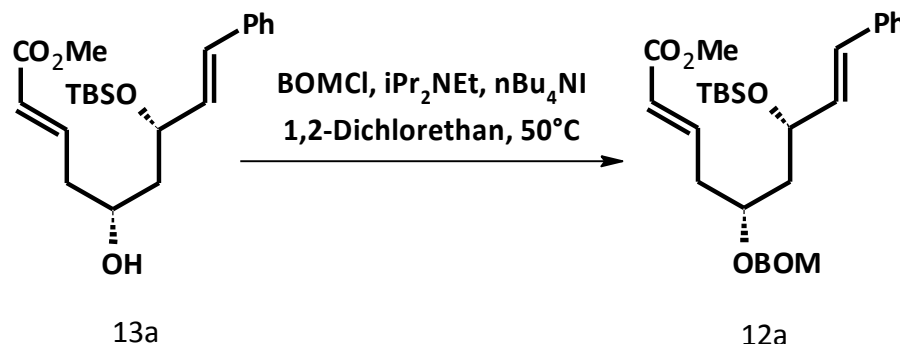


Substrat	Reaktions Parameter	Ausbeute	
11	20 eq Acrylsäuremethylester, $\text{CH}_2\text{Cl}_2$	12a, 25%	12b, 71%
11	Acrylsäuremethyl-ester, Toluol (1:1)	12a, 51%	12b, 46%
7	Acrylsäuremethyl-ester, $\text{CH}_2\text{Cl}_2$ (1:1)	13a, 77%	13b, 7%
7	30 eq Acrylsäuremethylester, $\text{CH}_2\text{Cl}_2$	13a, 82%	13b, 7%

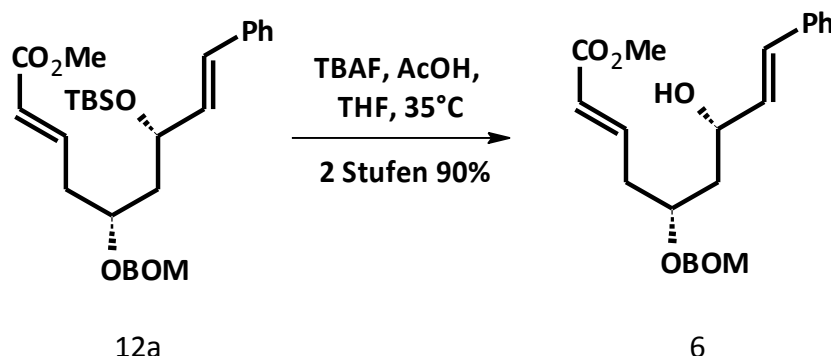
H. Fuwa, A. Saito, M. Sasaki, Angew. Chem. 2010, 122, 3105



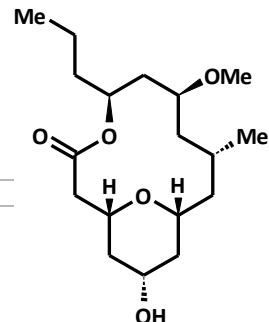
## Schutz des Alkohols



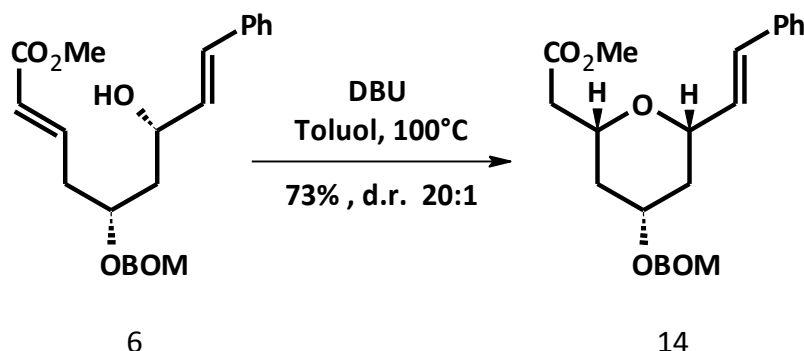
## Desilylierung



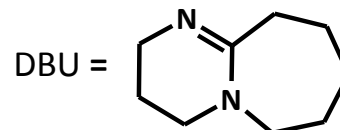
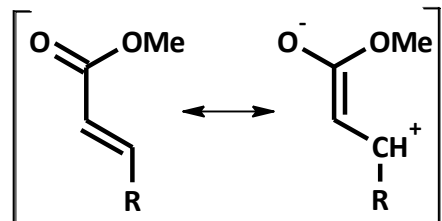
H. Fuwa, A. Saito, M. Sasaki, *Angew. Chemie* 2010, 122, 3105-3108



## intramolekulare oxakonjugierte Addition

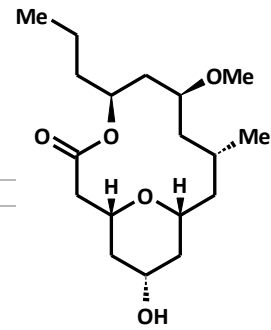


mesomere Greenzformel:

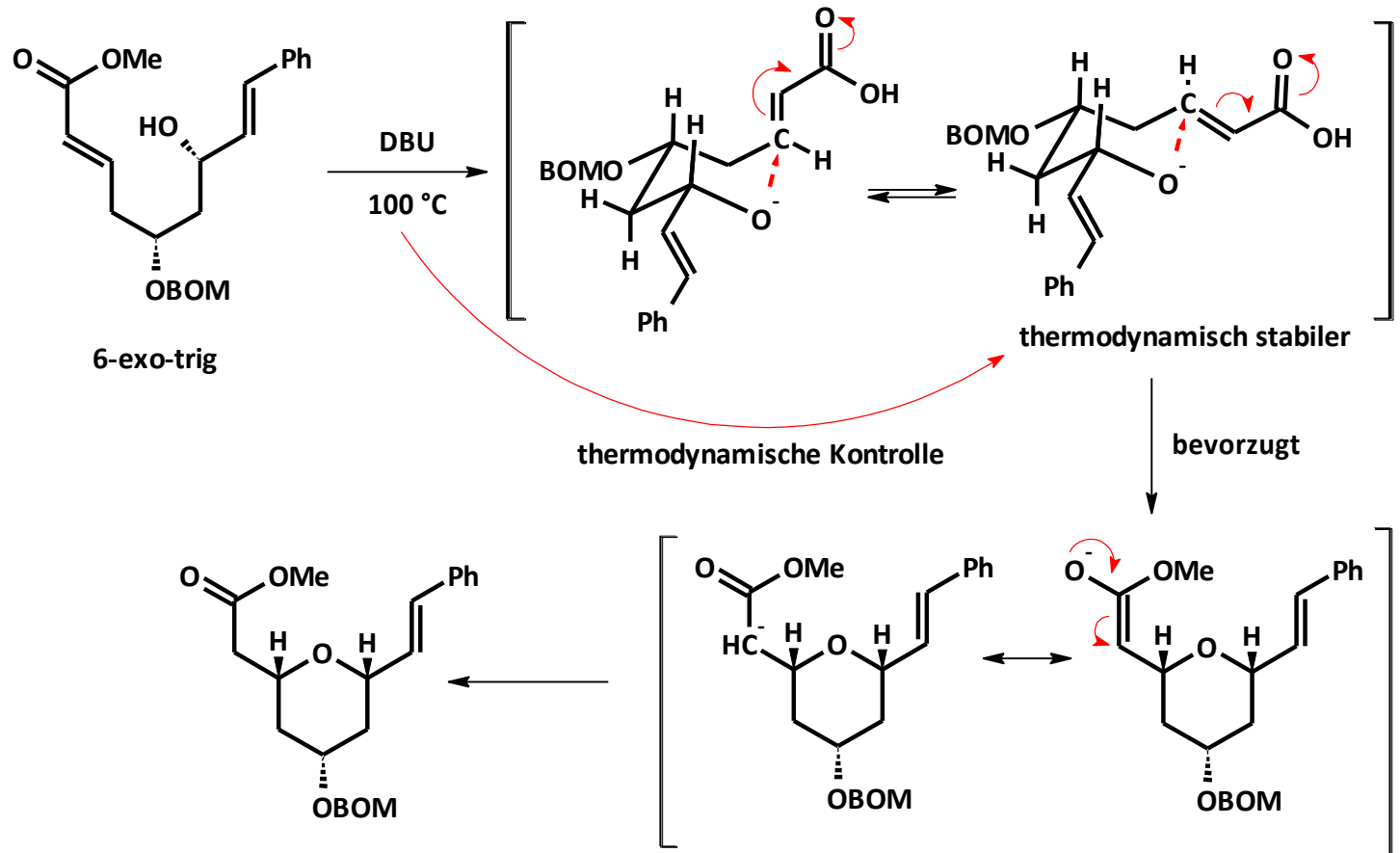


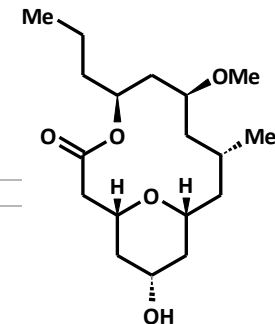
H. Fuwa, A. Saito, M. Sasaki, *Angew. Chemie* 2010, 122, 3105-3108

# Synthese des Macrocyclus 2

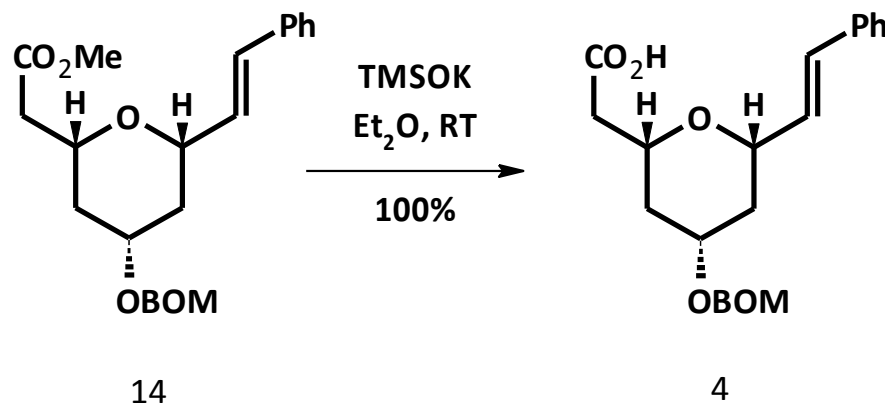


Mechanismusvorschlag:



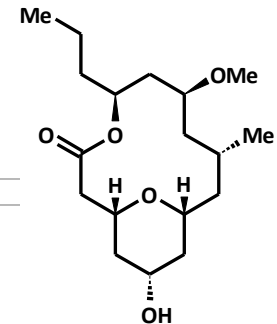


## Hydrolyse des Esters

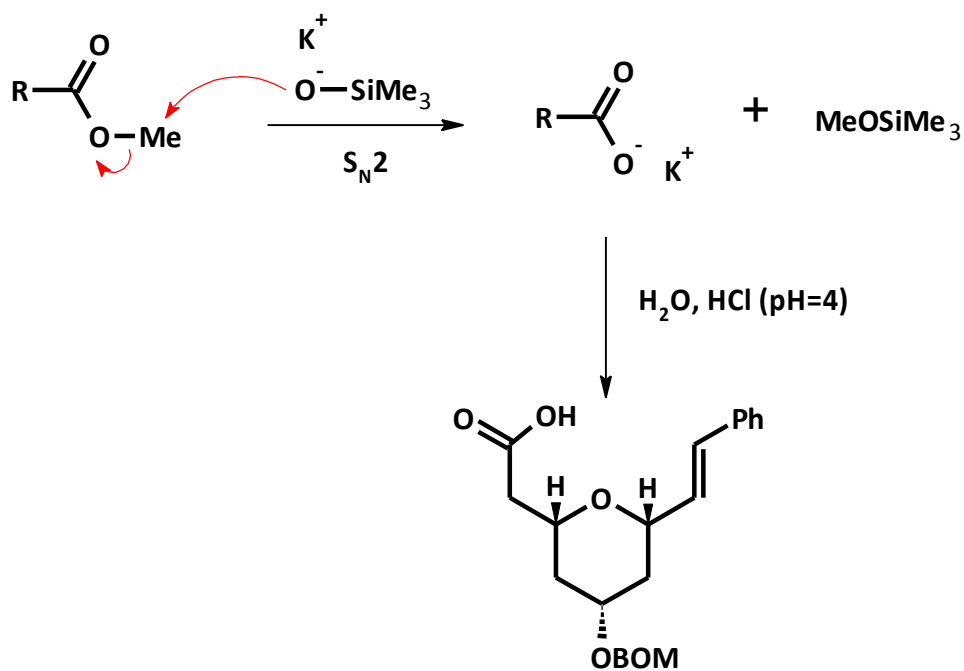


H. Fuwa, A. Saito, M. Sasaki, *Angew. Chemie* 2010, 122, 3105-3108  
E. D. Laganis, B. L. Chenard, *Tetrahedron Lett.* 1984, 25, 583.

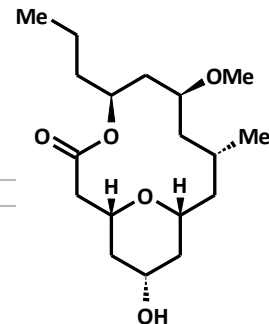
# Synthese des Macrocyclus 2



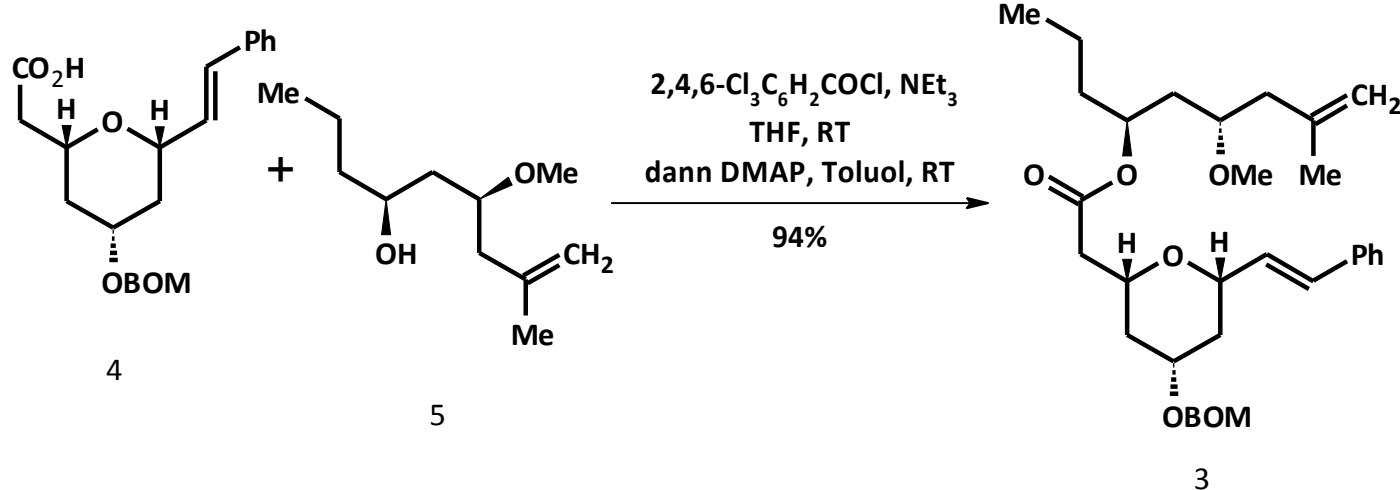
Mechanismusvorschlag:



# Synthese des Macrocyclus 2

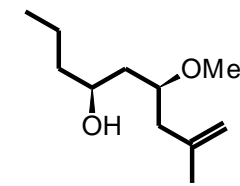


## Veresterung nach Yamaguchi

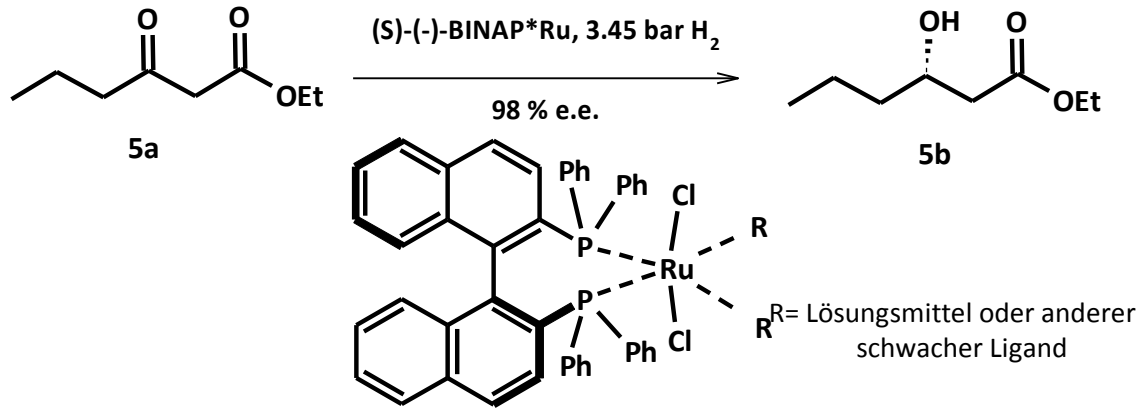


H. Fuwa, A. Saito, M. Sasaki, *Angew. Chemie* 2010, 122, 3105-3108

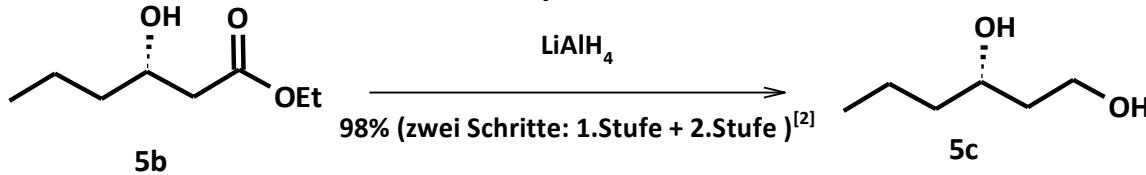
J. Inanaga, K. Hirata, H. Saeki, T. Katsuki, M. Yamaguchi, *Bull. Chem. Soc. Jpn.* 1979, 52, 1989 – 1993.



## 1. Stufe: Asymmetrische Hydrierung funktionalisierter Ketone<sup>[1]</sup>



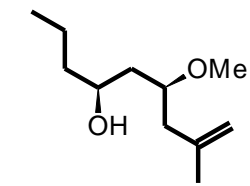
## 2. Stufe: Reduktion mit LiAlH<sub>4</sub><sup>[1]</sup>



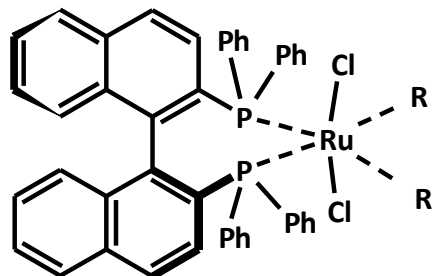
[1] J.Org. Chem. 1992, 57, 5990-5994, Douglass F. Taber, P.Bruce Deker, and Lee J. Silverberg

[2] H. Fuwa, A. Saito, M. Sasaki, Chem. Eur. J., 2009, 15, 12807-12818

# Synthese von Edukt 5

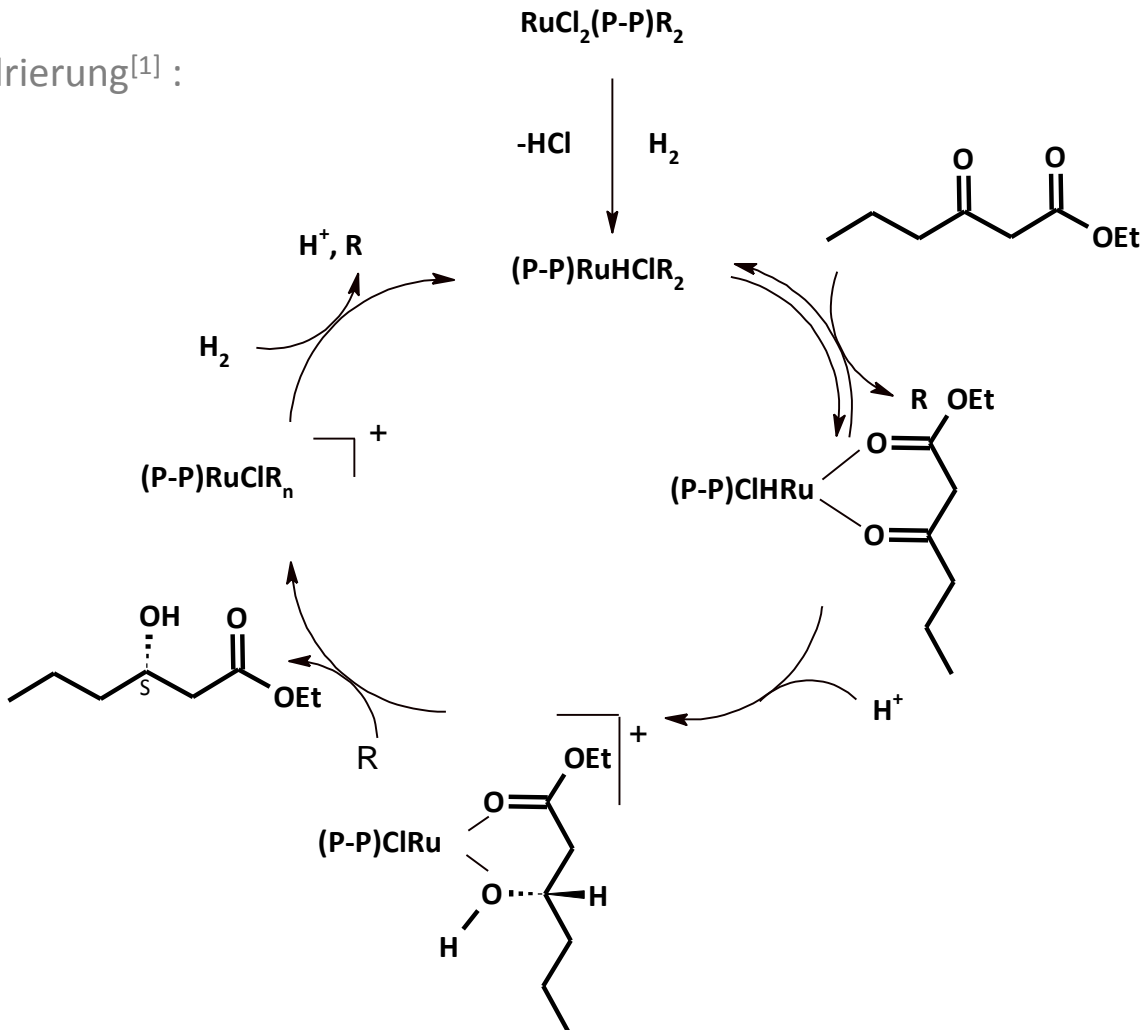


## 1.1 Modell Asymmetrische Hydrierung<sup>[1]</sup> :

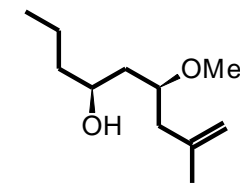


R= Lösungsmittel oder anderer schwacher Ligand

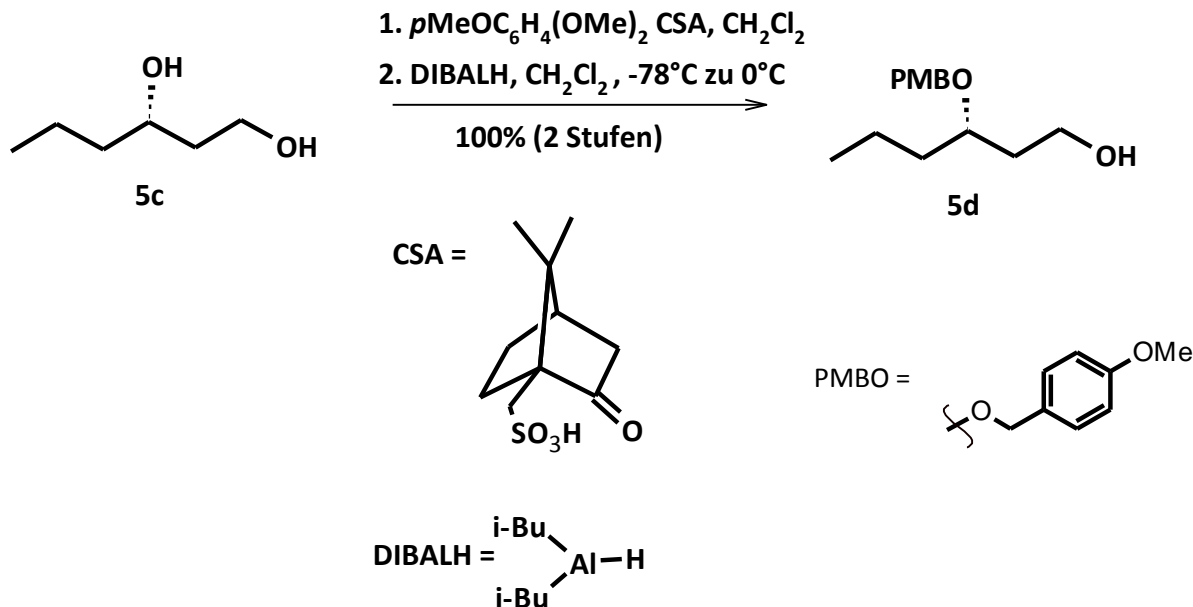
(P-P) = (S)-BINAP

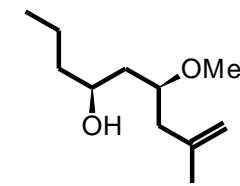


[1] R. Noyori, M. Kitamura, T. Ohkuma, PNAS 2004, 101, 5356-5362

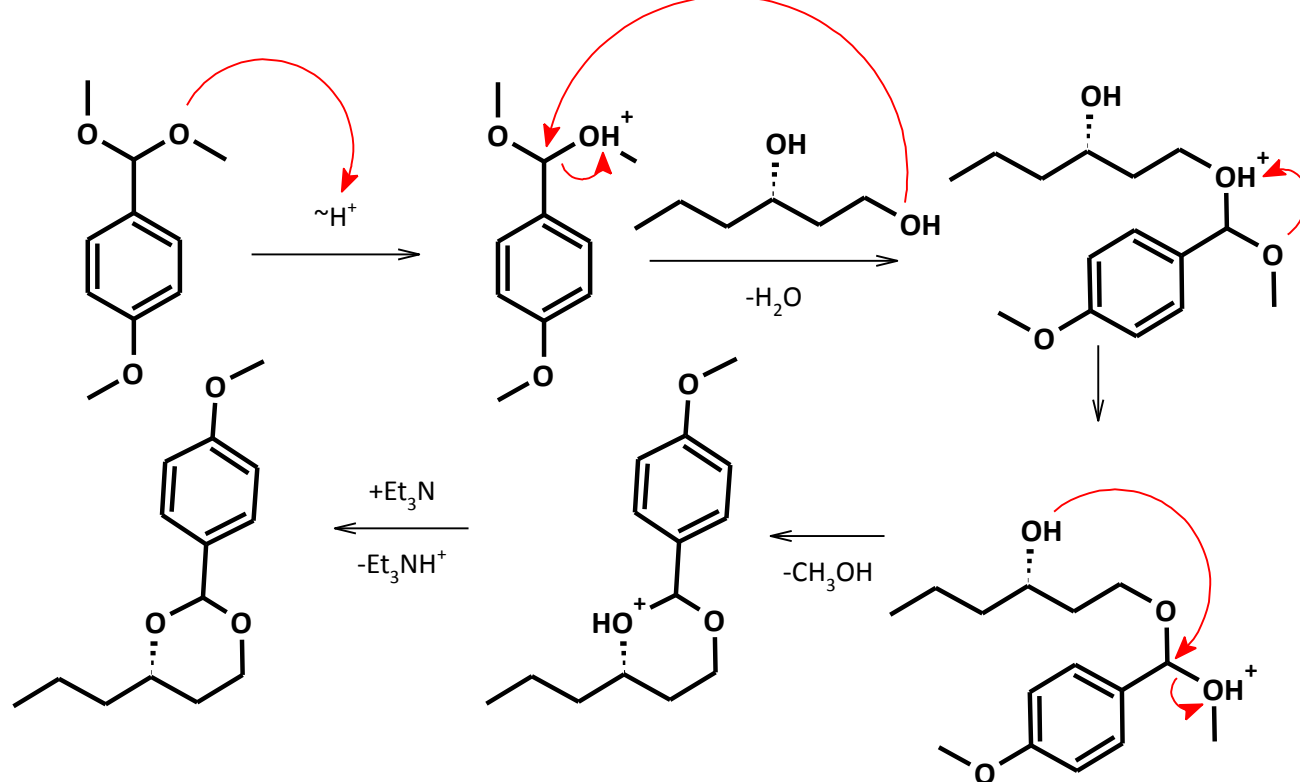


### 3. Stufe: selektive Einführung der PMB-Schutzgruppe (Acetalisierung/Reduktion zum Alkohol)<sup>[1]</sup>

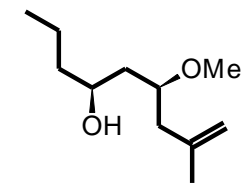




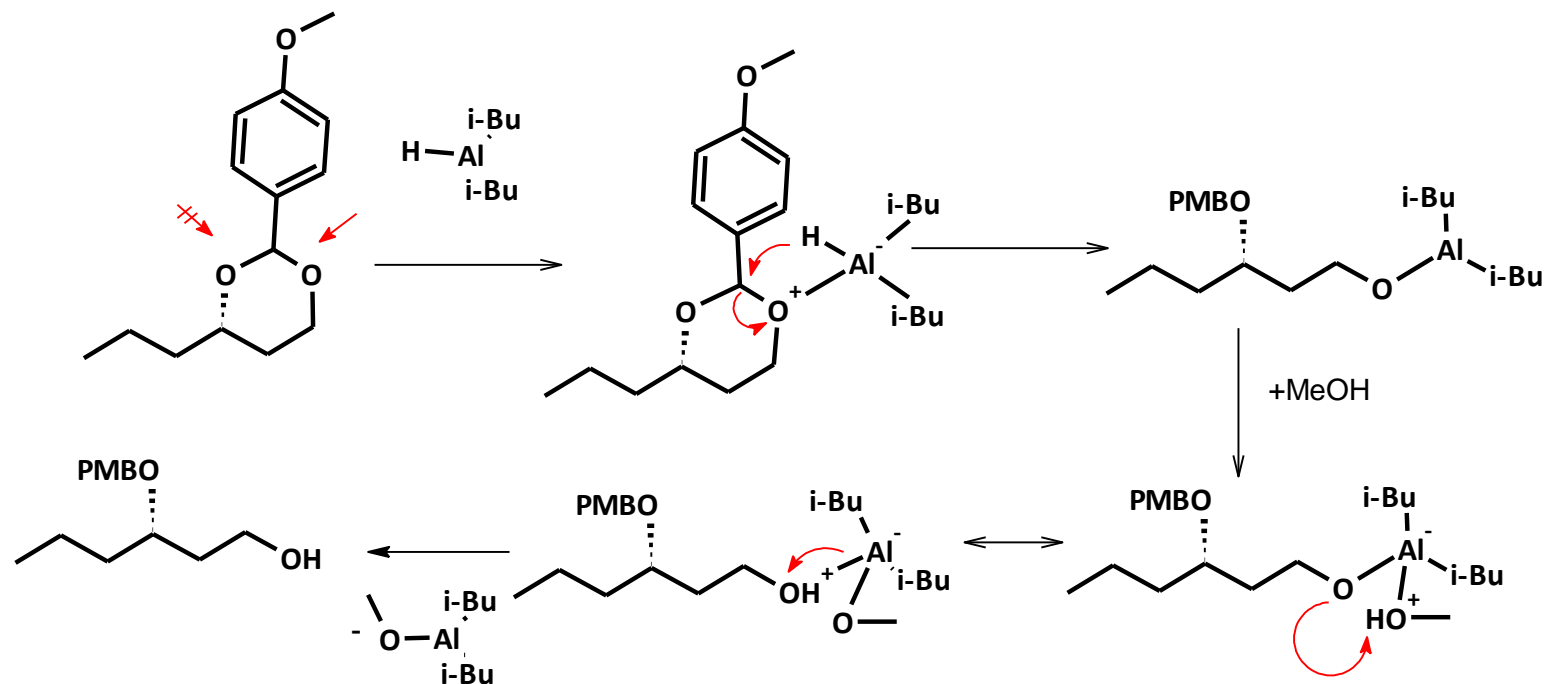
## 3.1 Mechanismenvorschlag Umacetalisierung<sup>[1]</sup>:

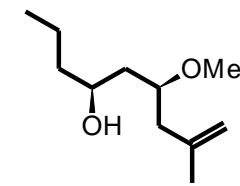


[1]OCII Übung, 6.Seminar, Aufgabe 6.2.4

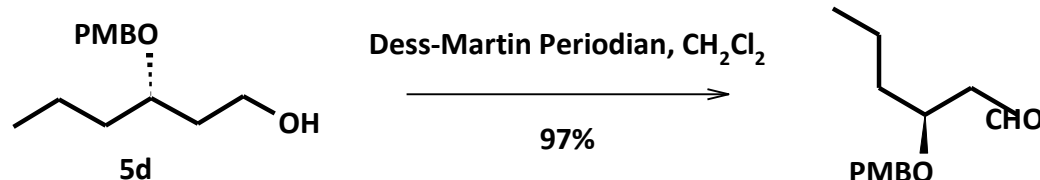


3.2 Mechanismenvorschlag selektive Reduktion zum Alkohol:

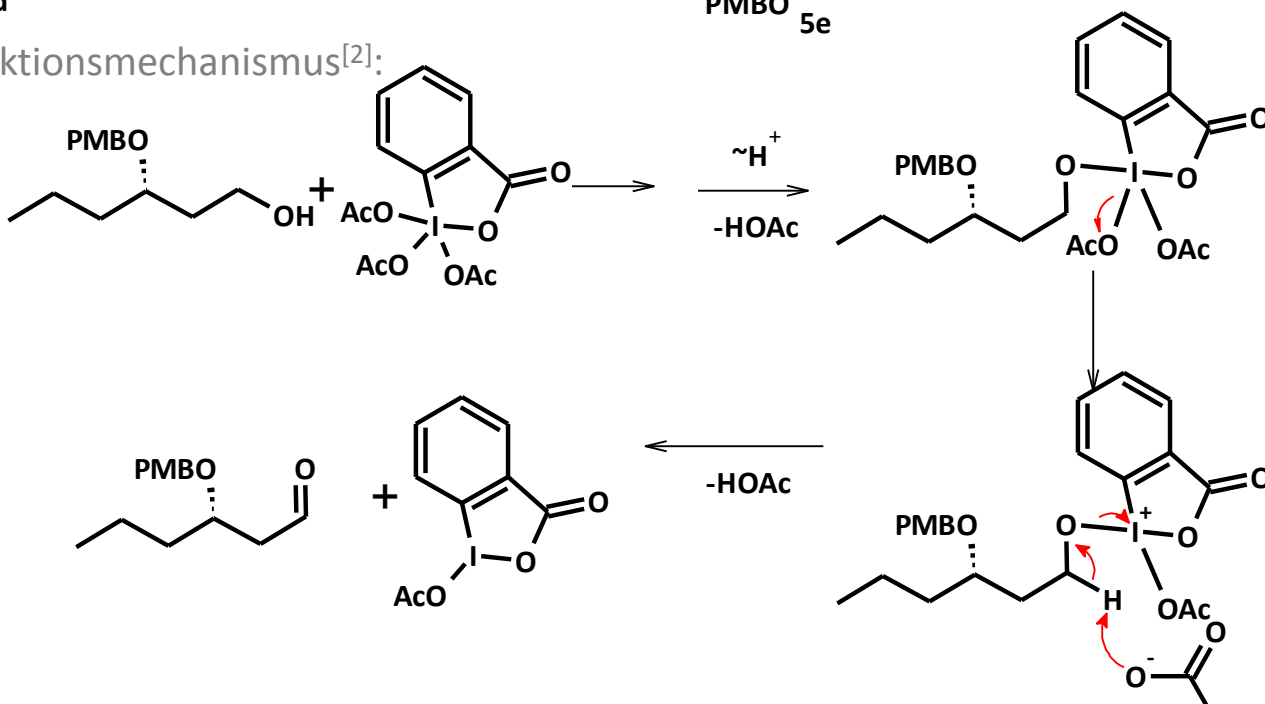




## 4. Stufe: Oxidation mit Dess-Martin Periodinan<sup>[1]</sup>

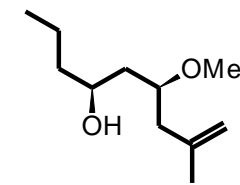


### 4.1 . Reaktionsmechanismus<sup>[2]</sup>:

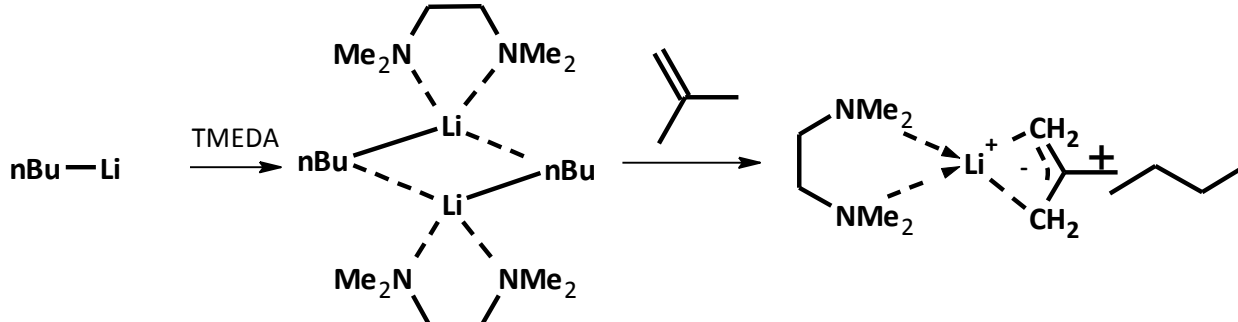
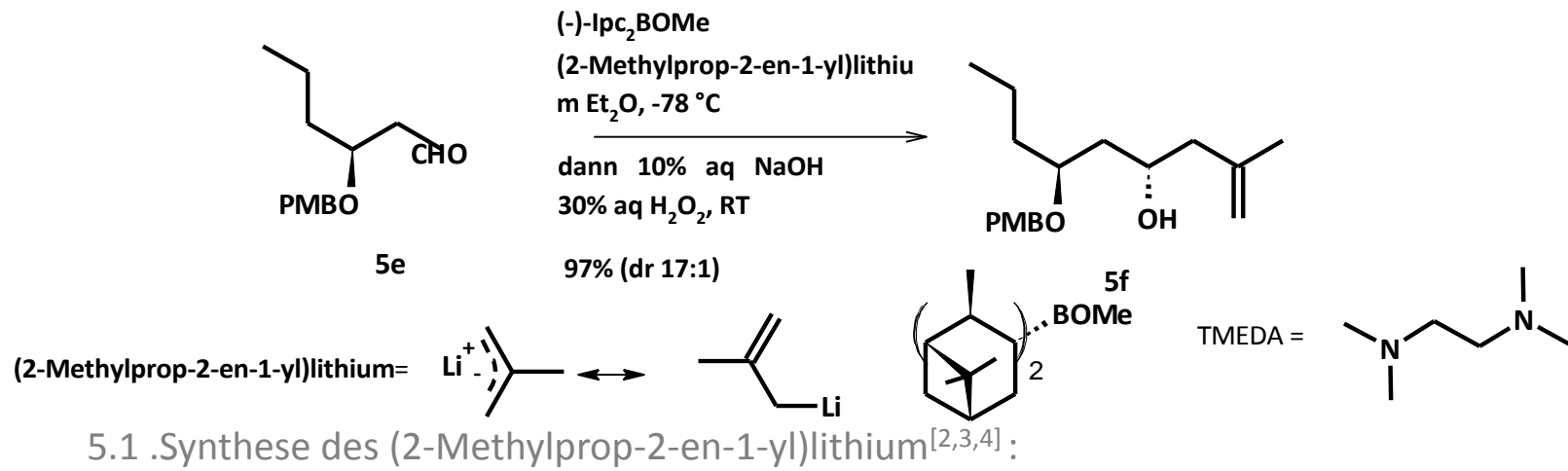


[1] Supporting information zu H. Fuwa, A. Saito, M. Sasaki, Chem. Eur. J., 2009, 15, 12807-12818

[2] Reaktionsmechanismen, 3. Auflage, Reinhardt Brückner, S.746



## 5. Stufe: Asymmetrische Allylborationierung<sup>[1]</sup>



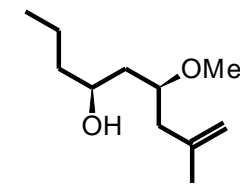
[1] Supporting information zu H. Fuwa, A. Saito, M. Sasaki, Angewandte Chemie International Edition 2010, 49, 3041-3044

[2] J.Org. Chem., Vol. 51, No.4, 1986 S.434 Jadhav et al.

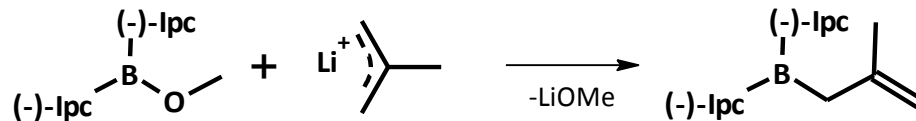
[3] Reaktionsmechanismen, 3.Auflage, Reinhardt Brückner, S.399

[4] Tetrahedron Letters No. 42, pp 4115-4118, 1973, S. Akiyama, John Hooz

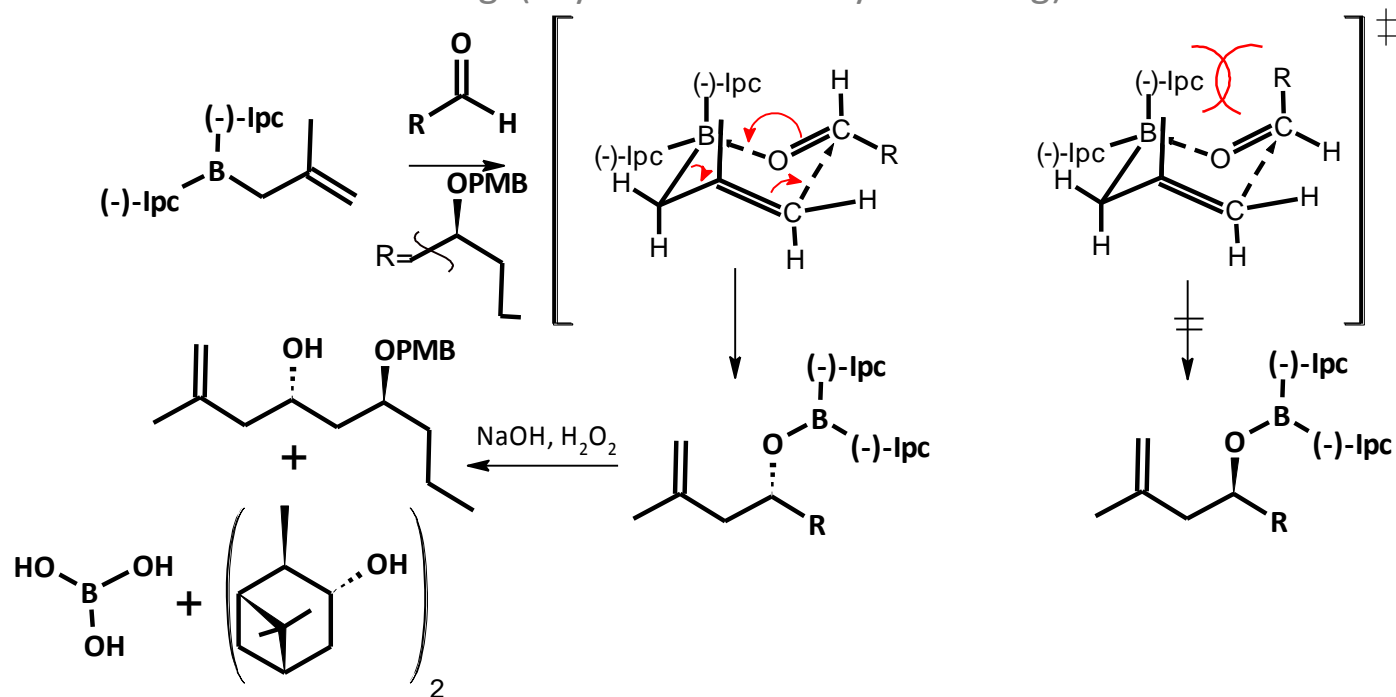
# Synthese von Edukt 5



## 5.2. Synthese des Methallyldiisopinocamphenylboran<sup>[1]</sup>:

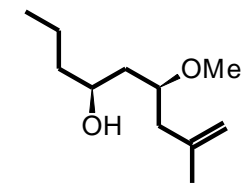


## 5.3. Mechanismenvorschlag (Asymmetrische Allylborierung)<sup>[2]</sup>:

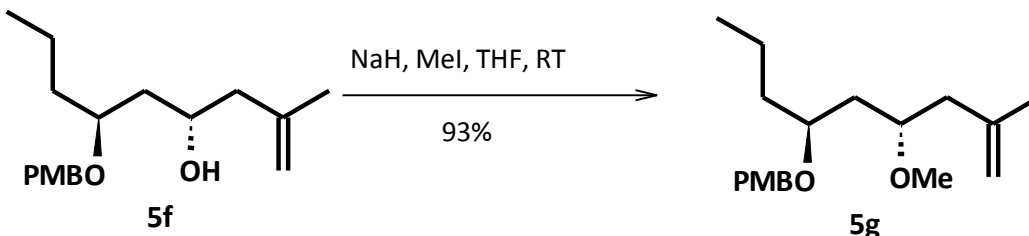


[1] J.Org. Chem., Vol. 51, No.4, 1986 S.434 Jadhav et al.

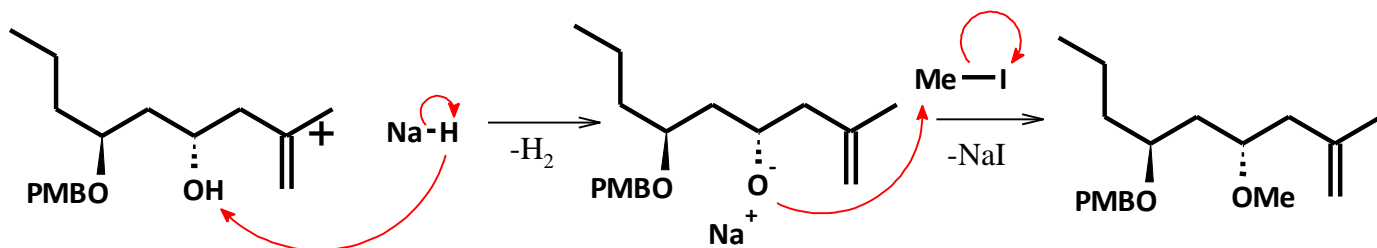
[2]ARKIVOC 2007 (ii) 121-144, ISSN 1424-6376, J. Subash Chandra, M.Venkat Ram Reddy, S.122



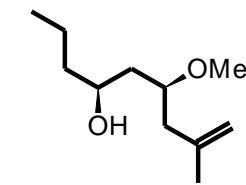
## 6. Stufe: Methylierung des homoallylischen Alkohols<sup>[1]</sup>



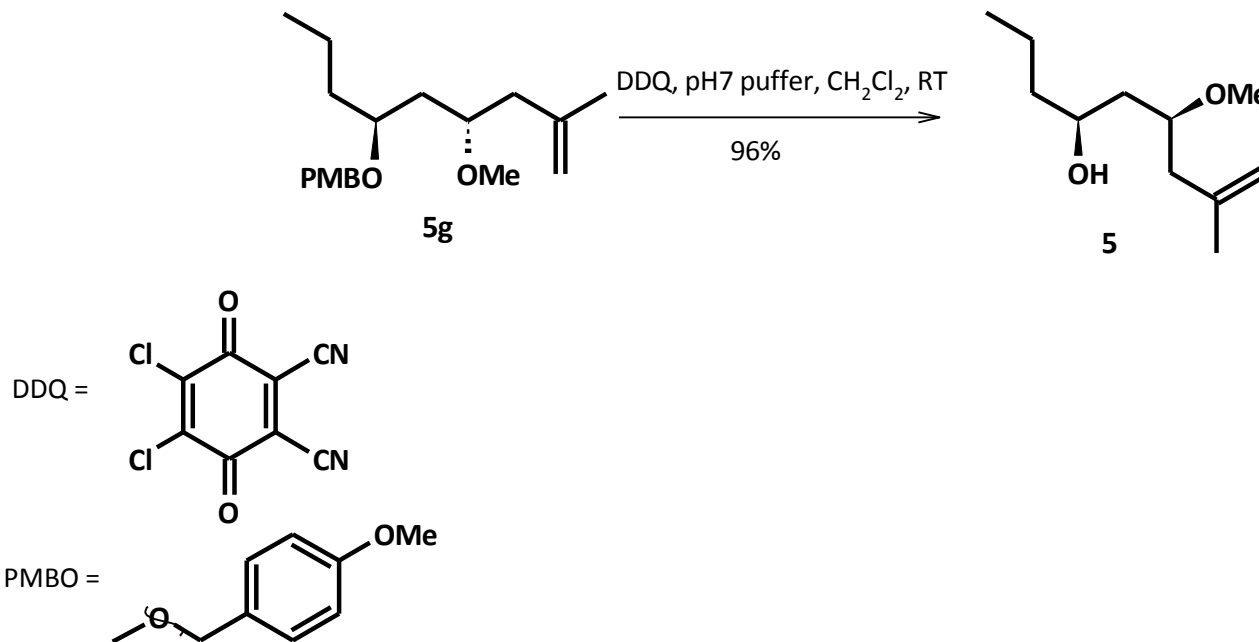
### 6.1 Mechanismusvorschlag:



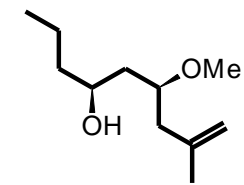
[1] Supporting information zu H. Fuwa, A. Saito, M. Sasaki, Angewandte Chemie International Edition 2010, 49, 3041-3044



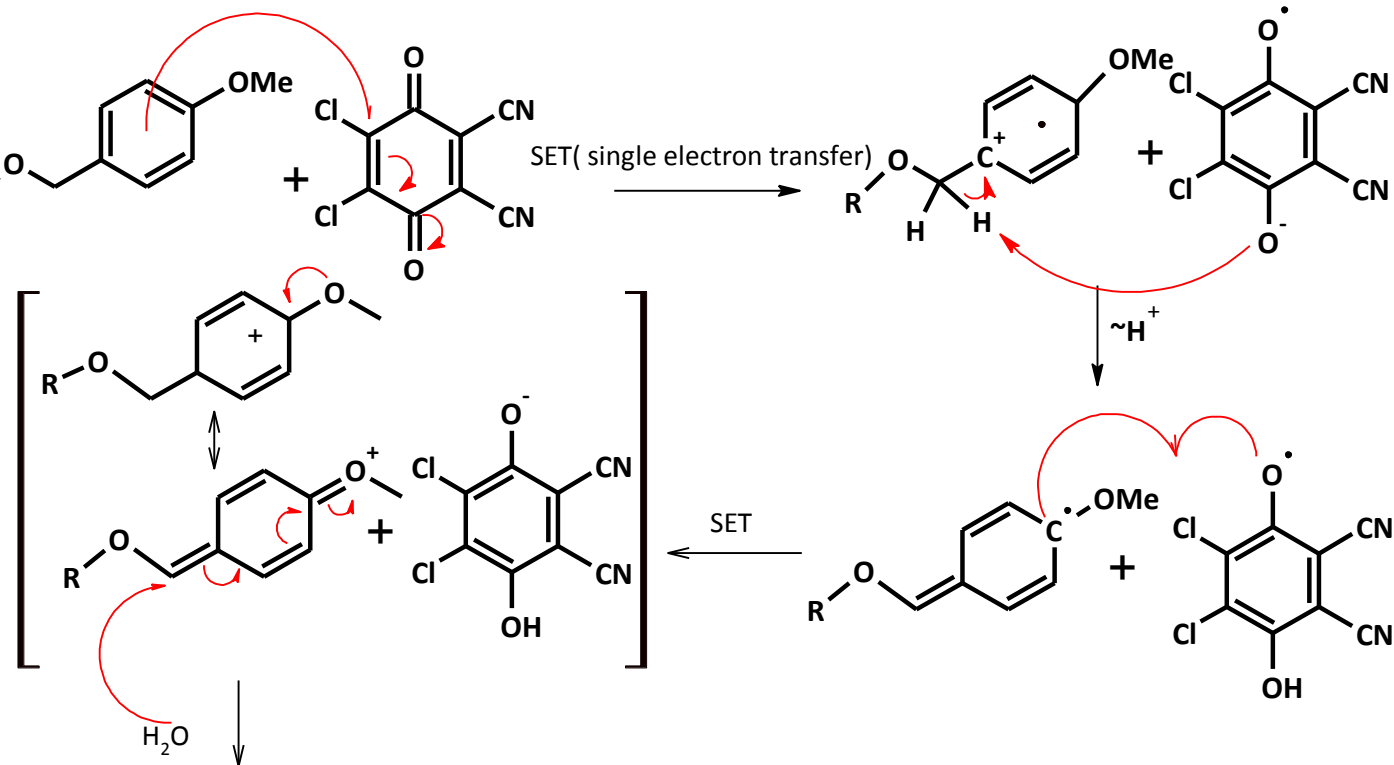
## 7. Stufe: Entfernung der p-Methoxybenzyl-Schutzgruppe<sup>[1]</sup>



[1] Supporting information zu H. Fuwa, A. Saito, M. Sasaki, Angewandte Chemie International Edition 2010, 49, 3041-3044

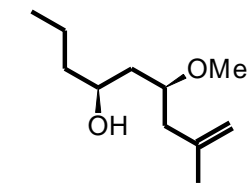


7.1(a) Reaktionsmechanismus<sup>[1]</sup>:



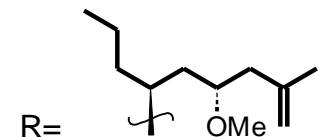
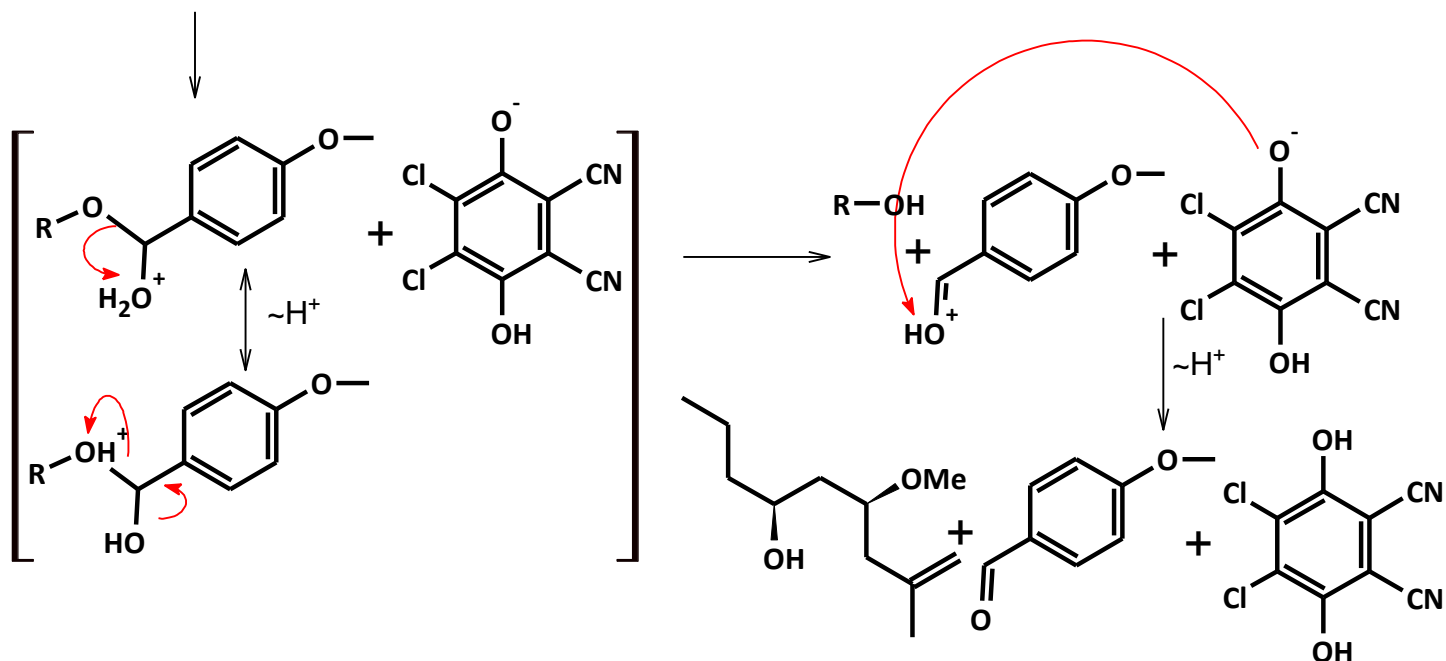
(siehe nächste Folie)

[1]OCII Übung, 5.Seminar, Aufgabe 5.4.1



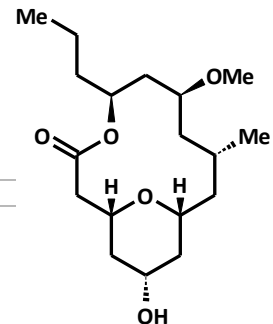
7.1(b) Reaktionsmechanismus<sup>[1]</sup>:

(Fortsetzung 7.1(a))

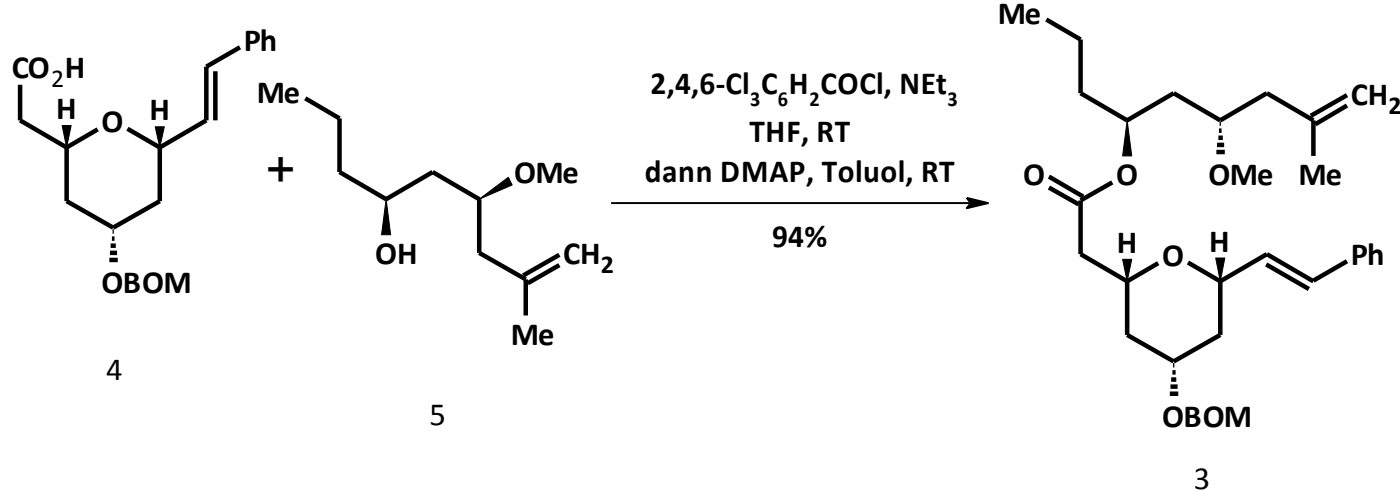


[1]OCII Übung, 5.Seminar, Aufgabe 5.4.1

# Synthese des Macrocyclus 2



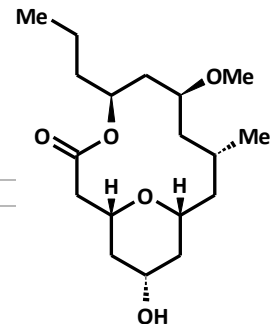
## Veresterung nach Yamaguchi



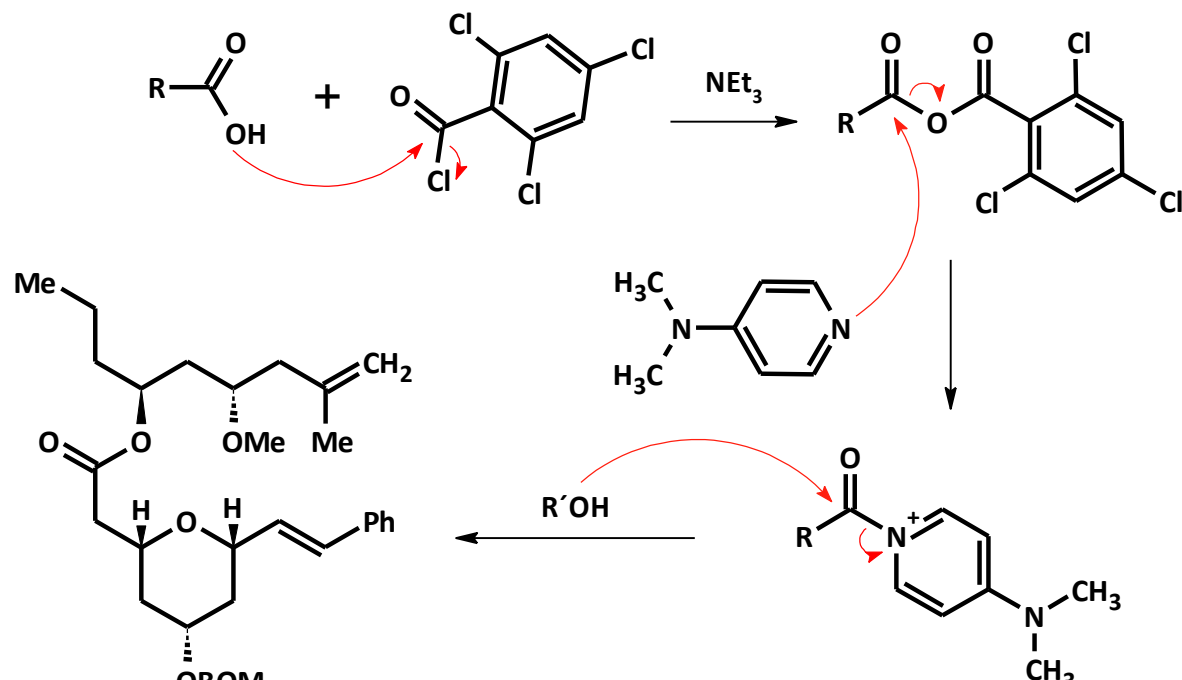
H. Fuwa, A. Saito, M. Sasaki, *Angew. Chemie* 2010, 122, 3105-3108

J. Inanaga, K. Hirata, H. Saeki, T. Katsuki, M. Yamaguchi, *Bull. Chem. Soc. Jpn.* 1979, 52, 1989 – 1993.

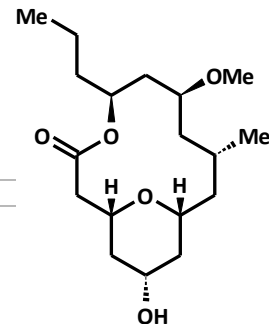
# Synthese des Macrocyclus 2



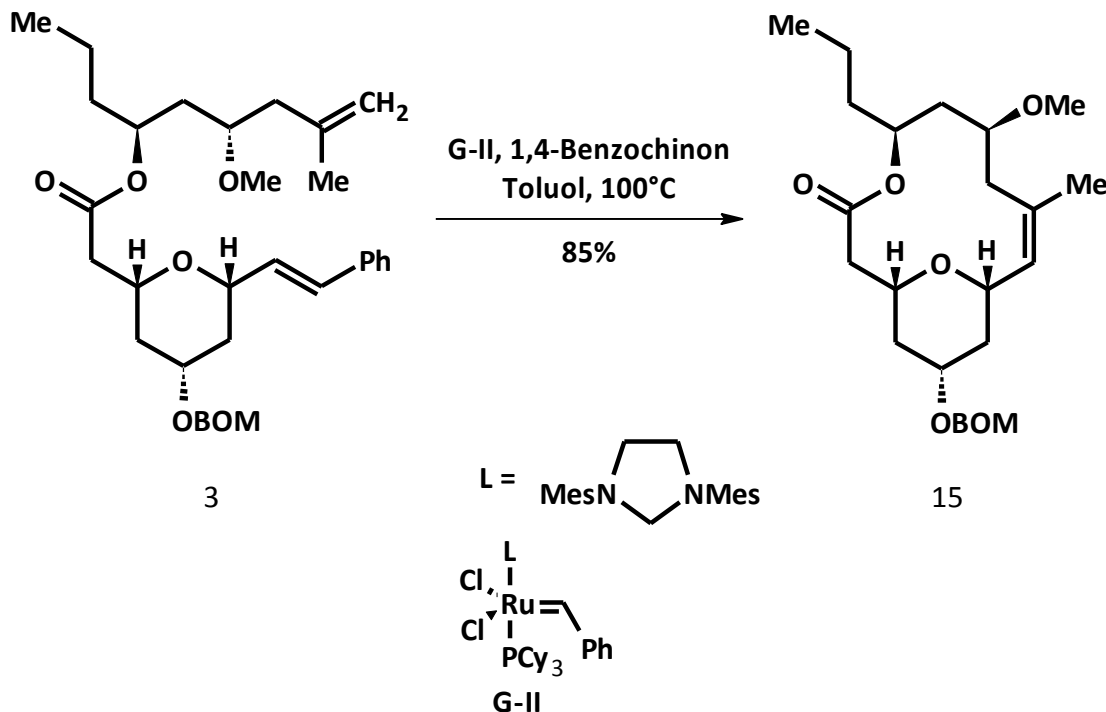
Mechanismusvorschlag:



3

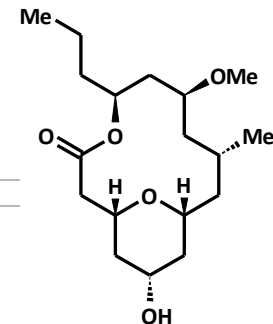


## Olefinmetathese

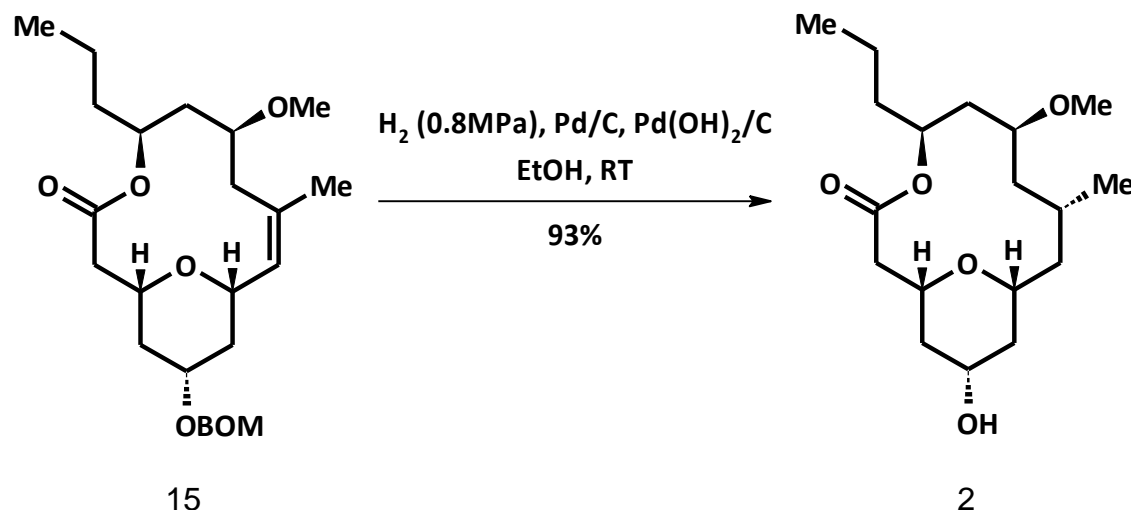


H. Fuwa, A. Saito, M. Sasaki, *Angew. Chemie* 2010, 122, 3105-3108

S. H. Hong, H. P. Sanders, C. W. Lee, R. H. Grubbs, *J. Am. Chem. Soc.* 2005, 127, 17160 – 17161.

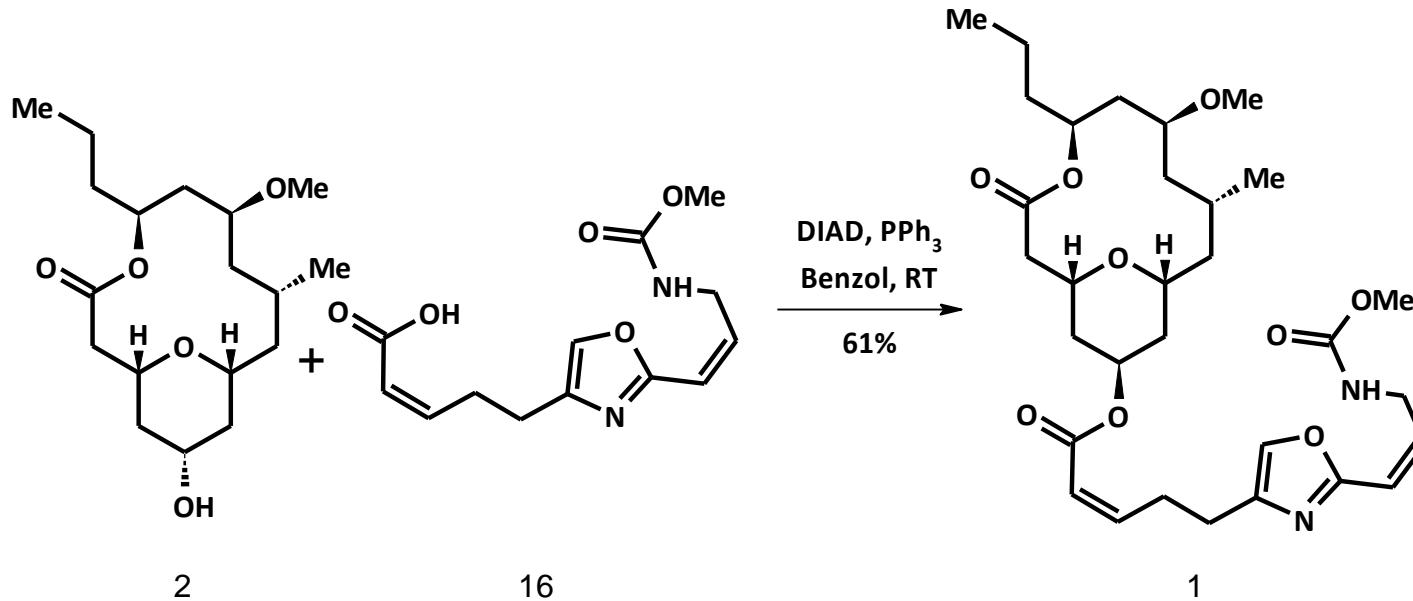


## Katalytische Hydrierung



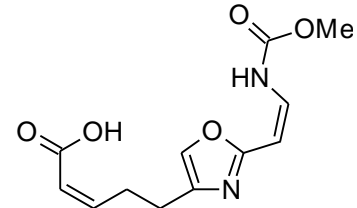
H. Fuwa, A. Saito, M. Sasaki, *Angew. Chemie* 2010, 122, 3105-3108

## Mitsunobu-Reaktion

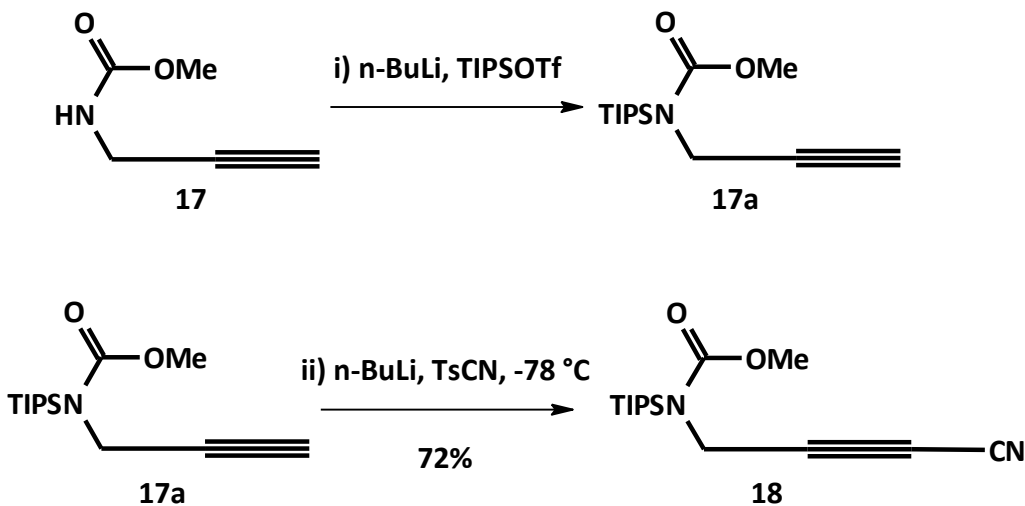


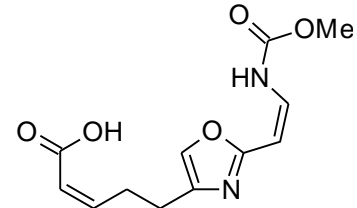
H. Fuwa, A. Saito, M. Sasaki, *Angew. Chemie* 2010, 122, 3105-3108

H. Fuwa, S. Naito, T. Goto, M. Sasaki, *Angew. Chem.* 2008, 120, 4815 – 4817.



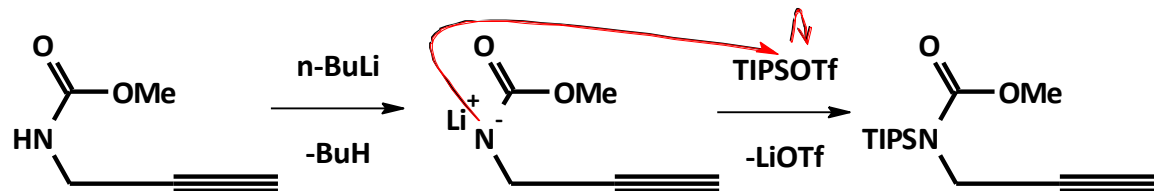
## 1. Stufe: Einführung der Schutzgruppe und Cyanierung



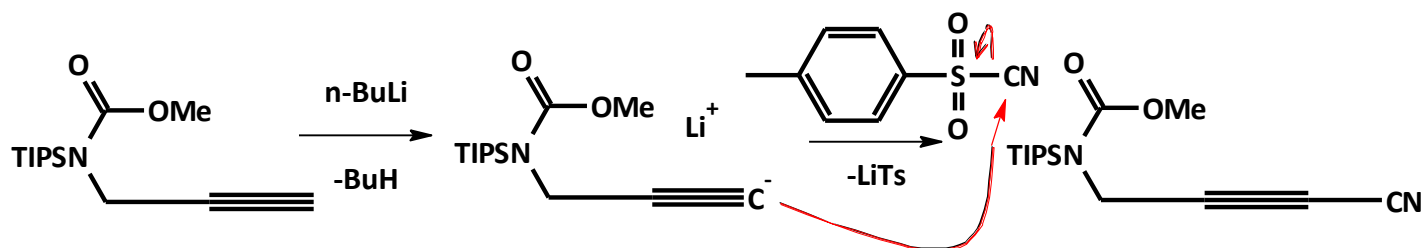


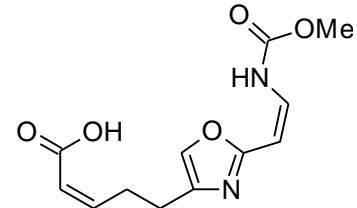
Mechanismusvorschläge:

## Einführung der Schutzgruppe

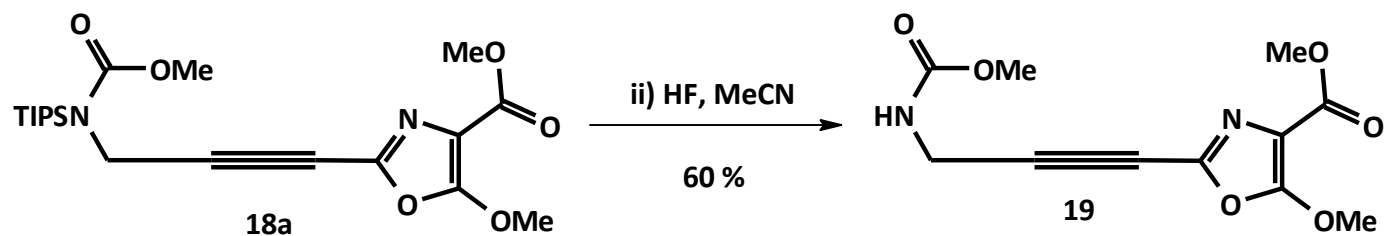
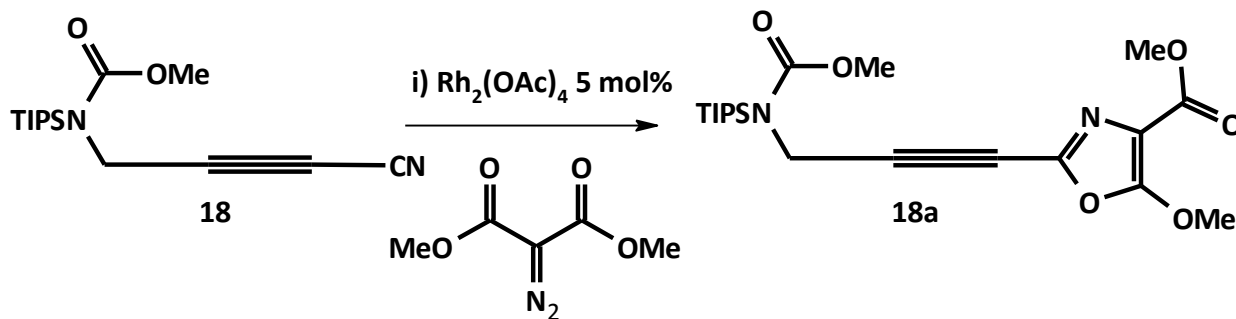


## Cyanierung



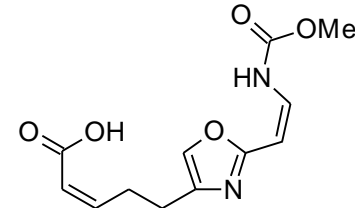


## 2. Stufe: Bildung des Oxazols und Entfernung der Schutzgruppe

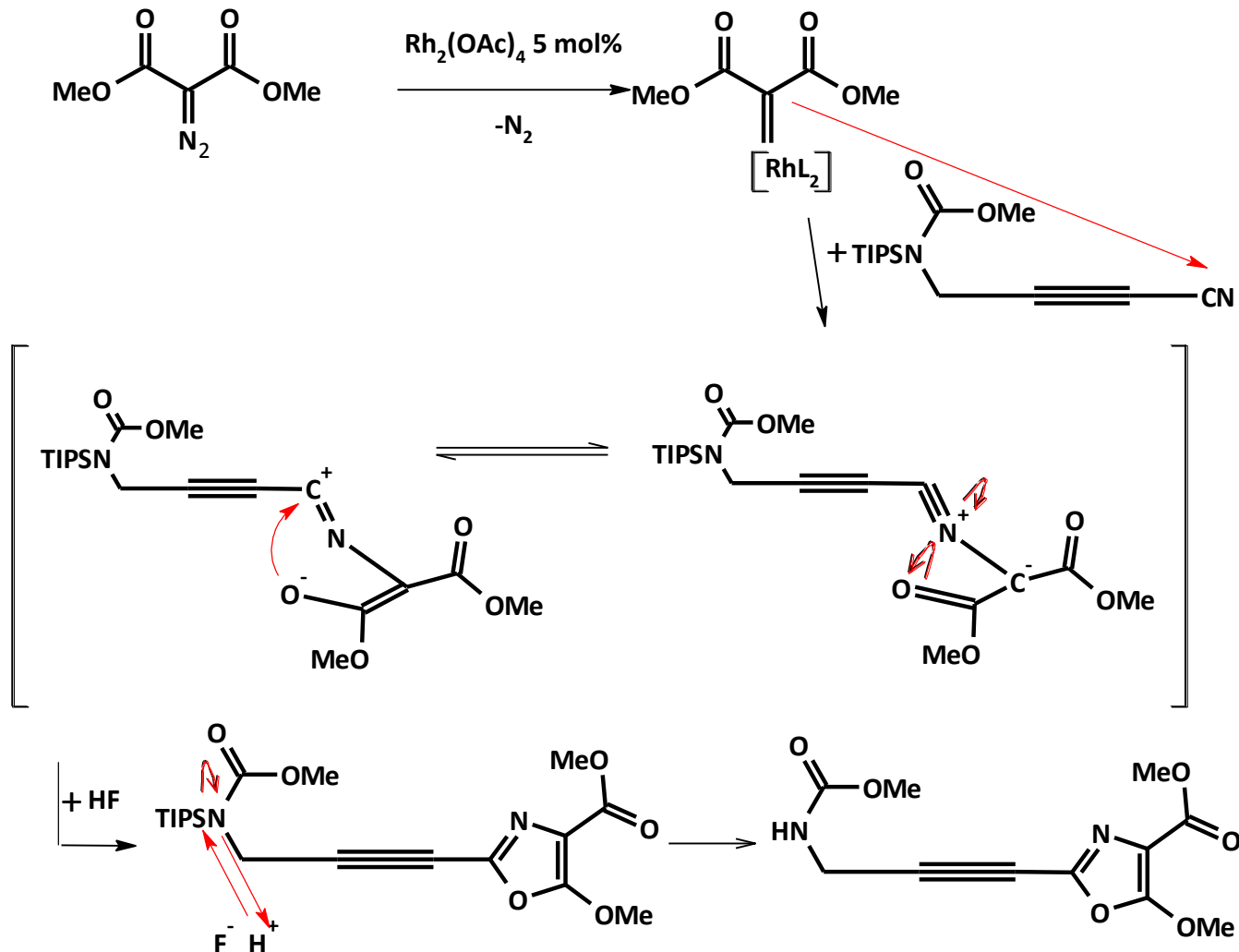


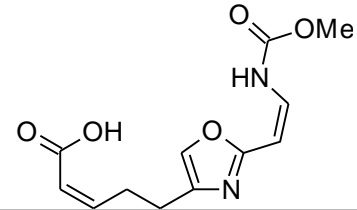
R. D. Connell, F. Scavo, P. Helquist, B. Åkermark, *Tetrahedron Lett.* 1986, 27, 5559

# Synthese von Edukt 16

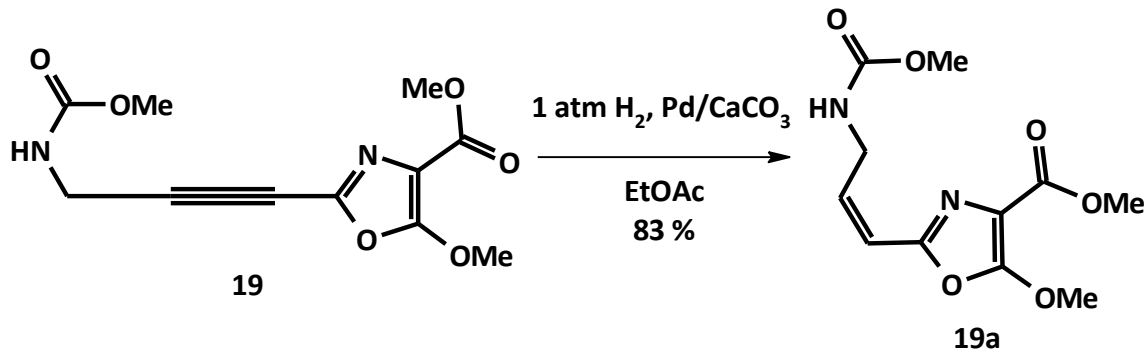


Mechanismusvorschlag:

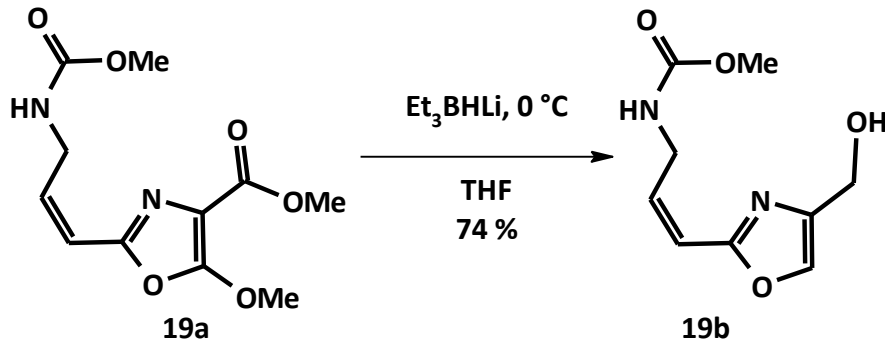




## 3. Stufe: Hydrierung mit Lindlar-Katalysator

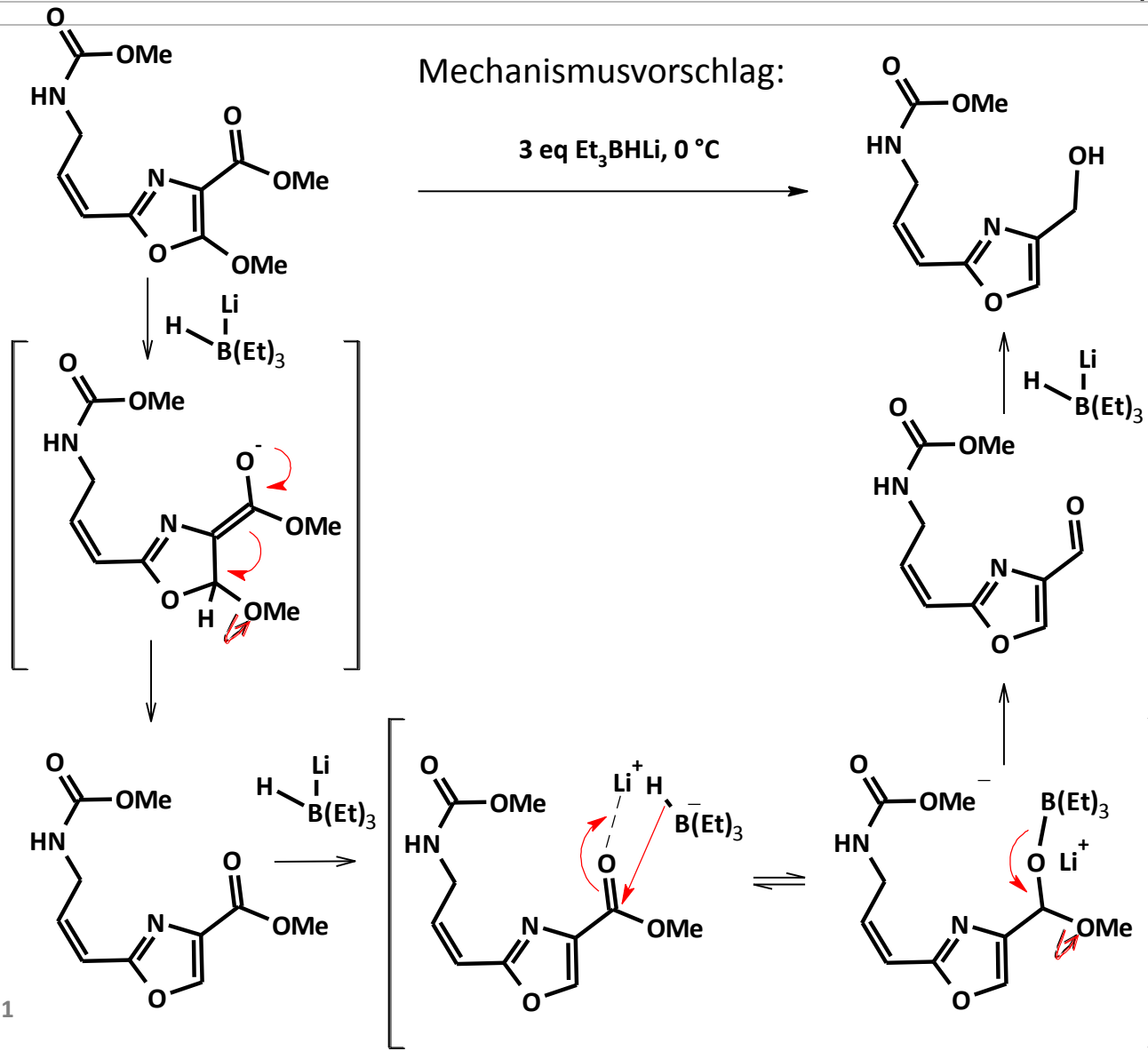
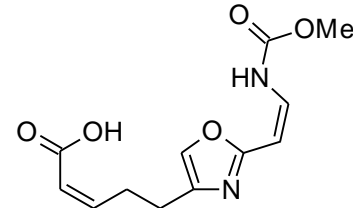


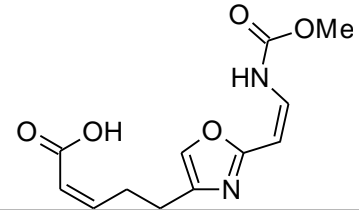
## 4. Stufe: Reduktion mit Super-Hydrid®



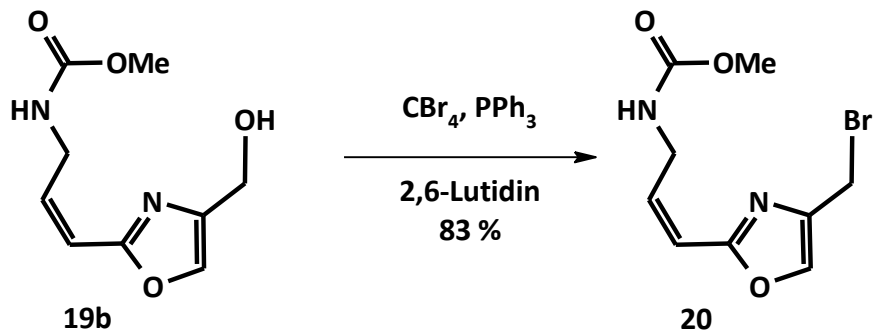
R. D. Connell, F. Scavo, P. Helquist, B. Åkermark, *Tetrahedron Lett.* 1986, 27, 5559

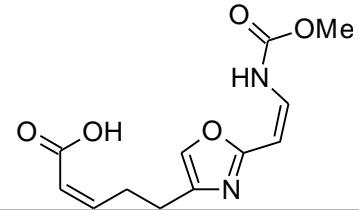
# Synthese von Edukt 16



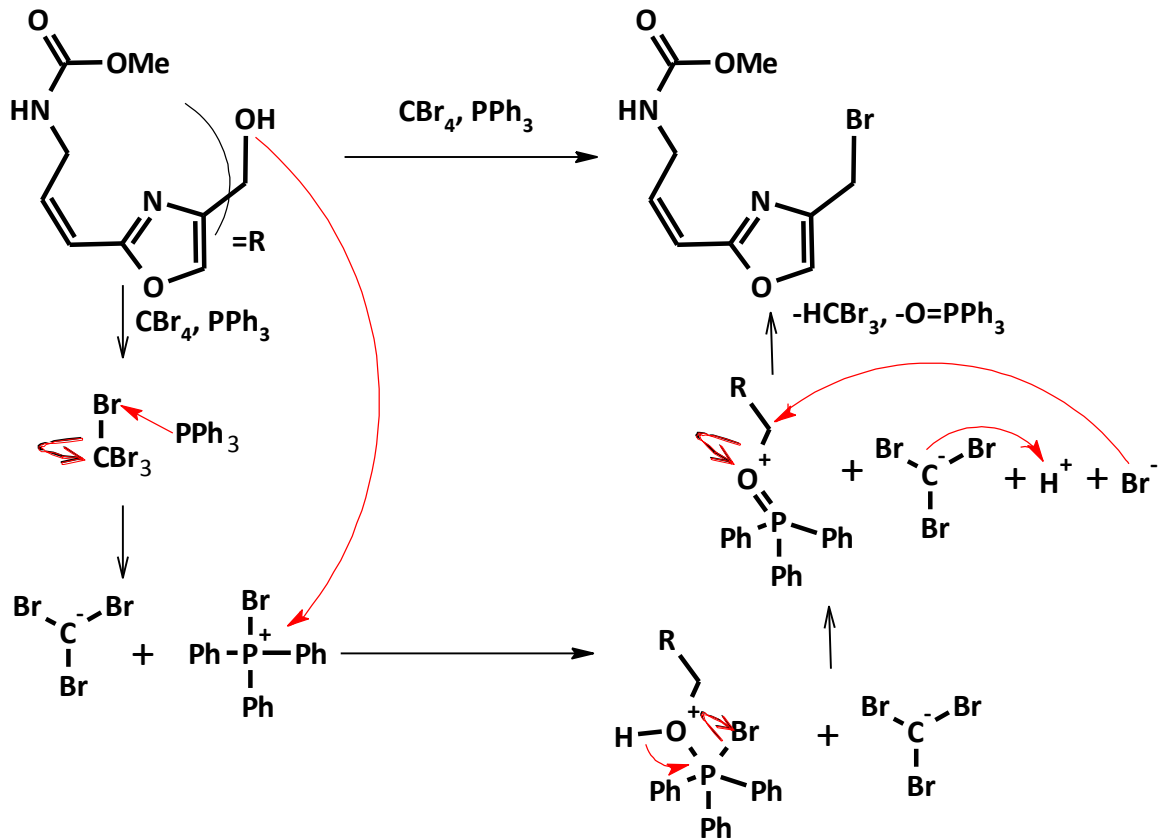


## 5. Stufe: Mukaiyama-Redoxkondensation

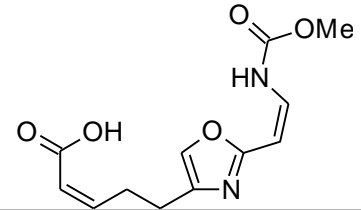




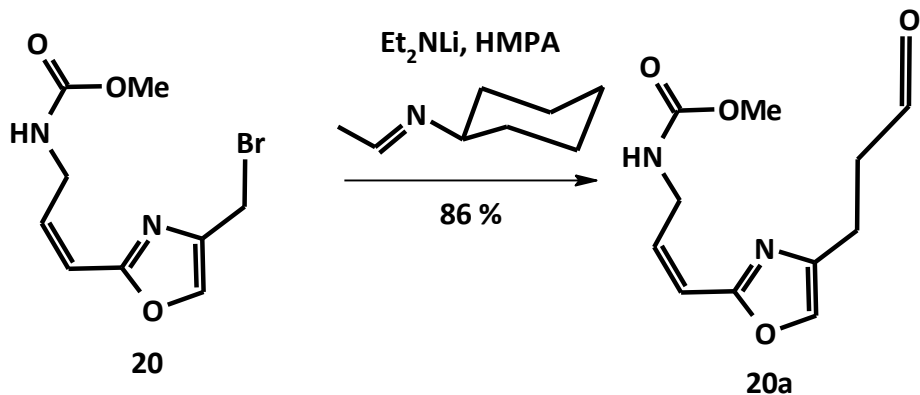
Mechanismusvorschlag:



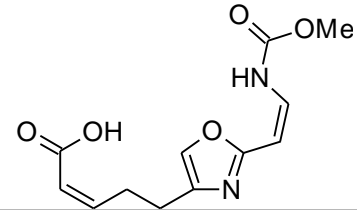
R. Brückner, *Reaktionsmechanismen*, 3. Auflage, Spektrum Verlag, S. 99f.



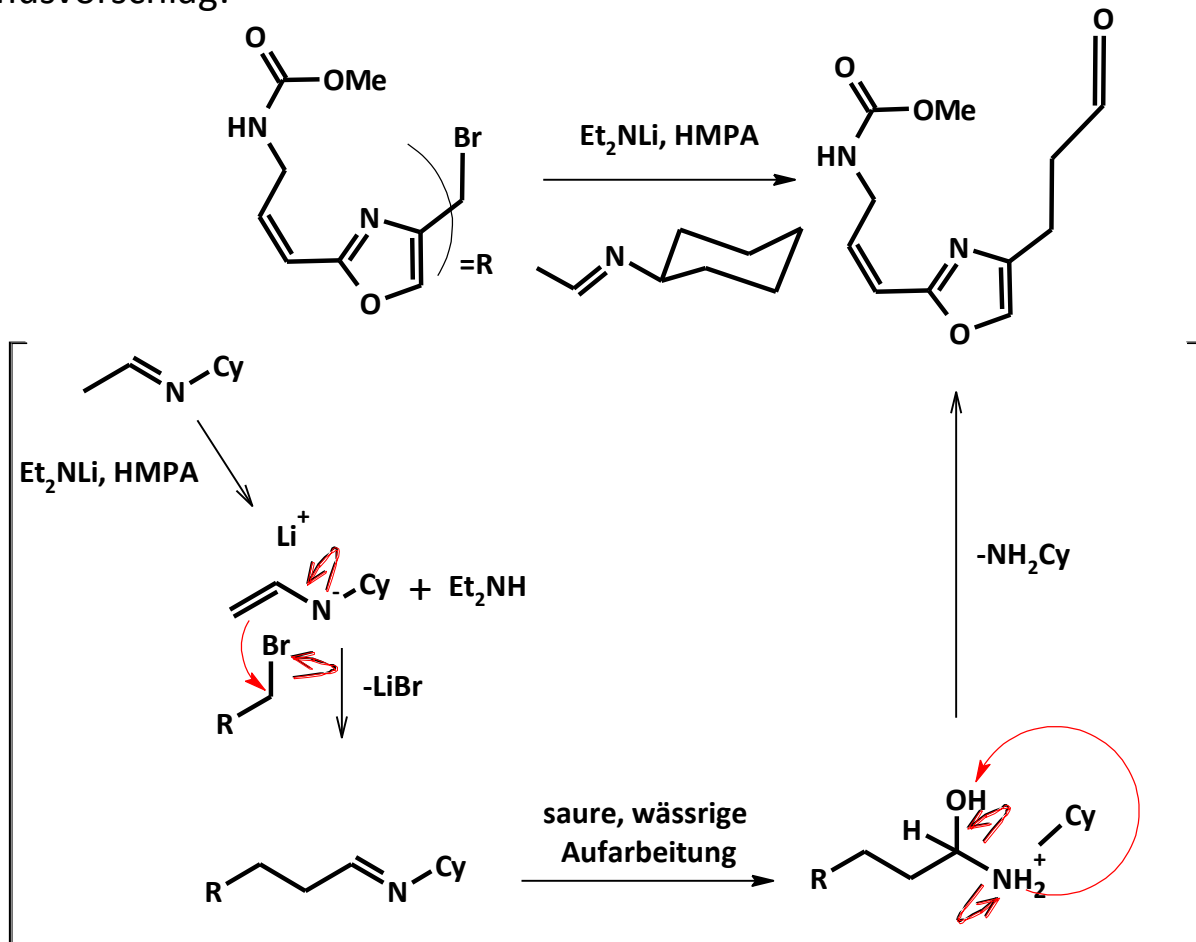
## 6. Stufe: Alkylierung



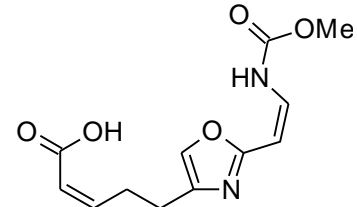
# Synthese von Edukt 16



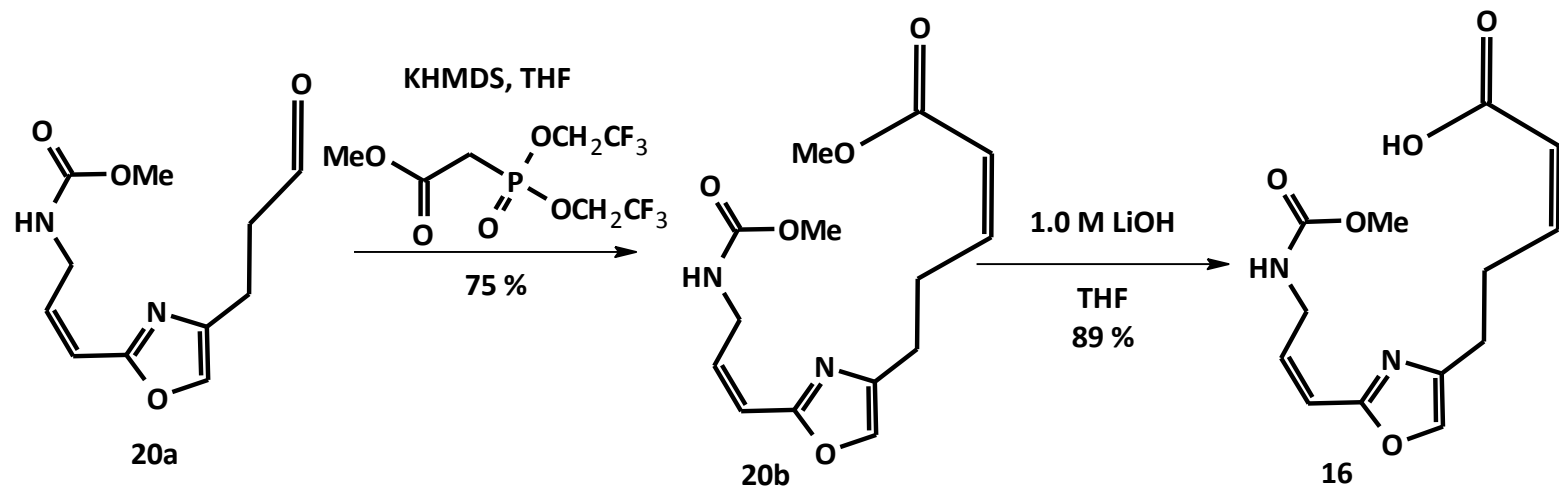
Mechanismusvorschlag:

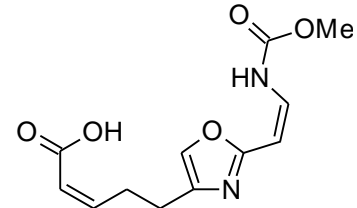


R. Brückner, *Reaktionsmechanismen*, 3. Auflage, Spektrum Verlag, S. 543f.

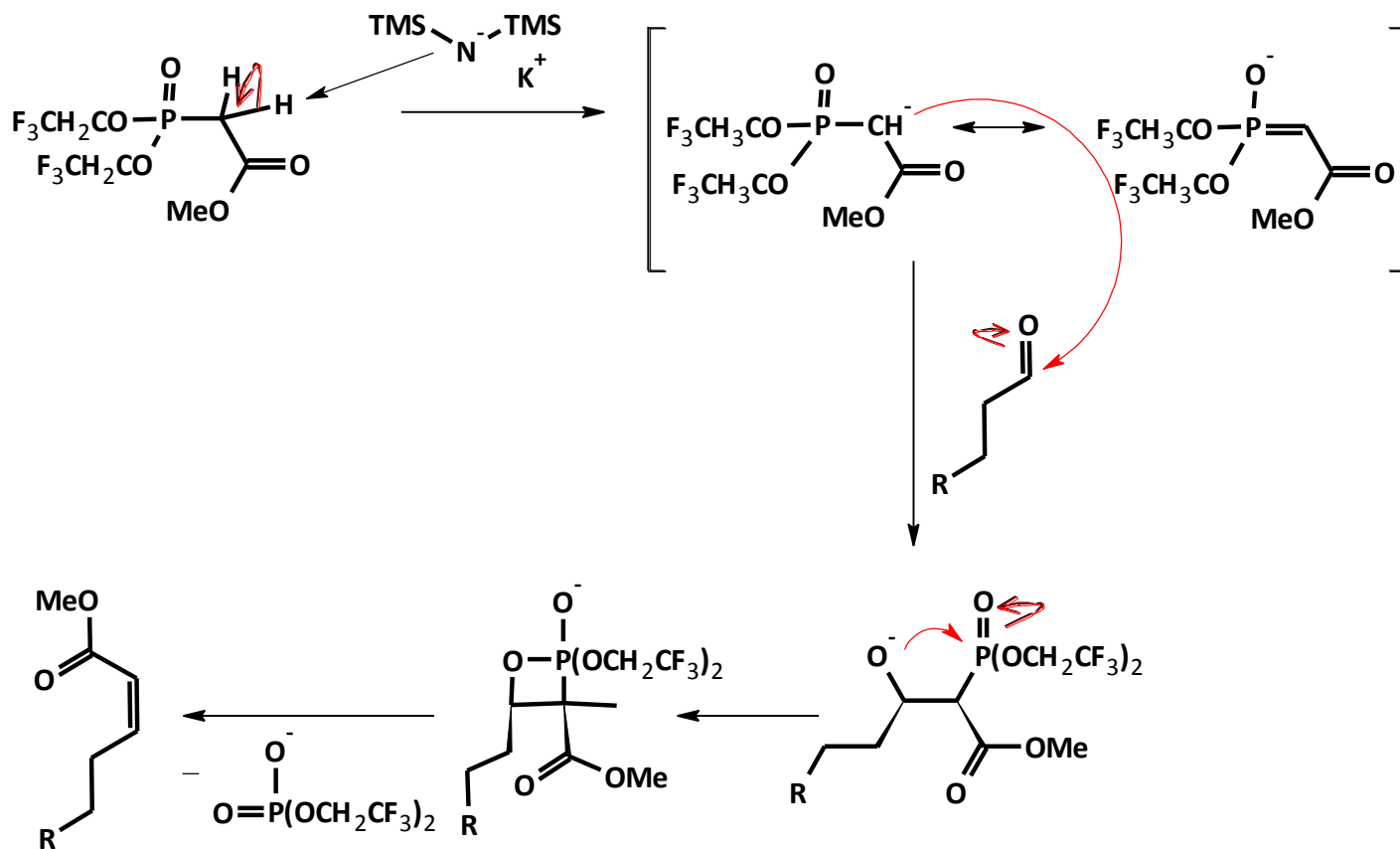


## 7./8. Stufe: Still-Gennari-Variante der HWE-Reaktion und Verseifung des Esters

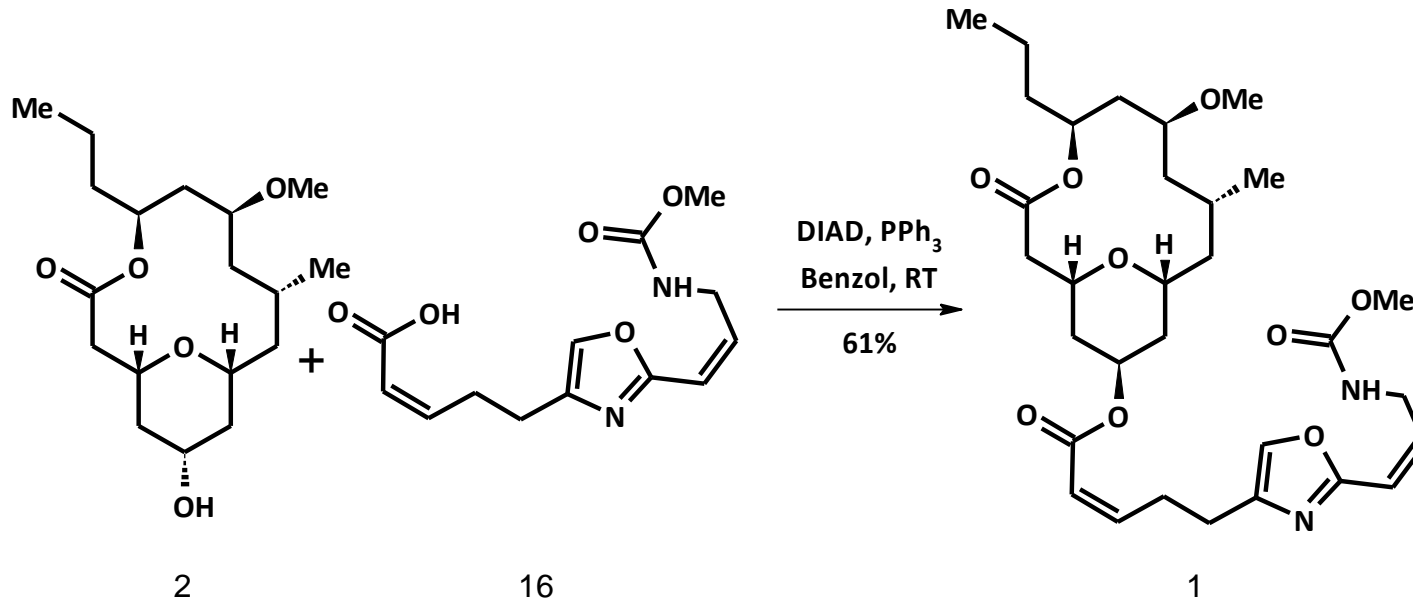




Mechanismusvorschlag:



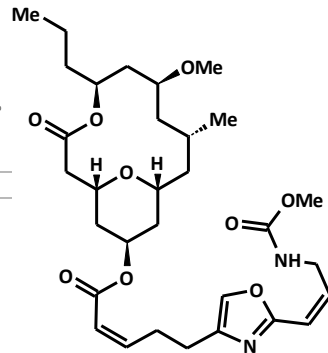
## Mitsunobu-Reaktion



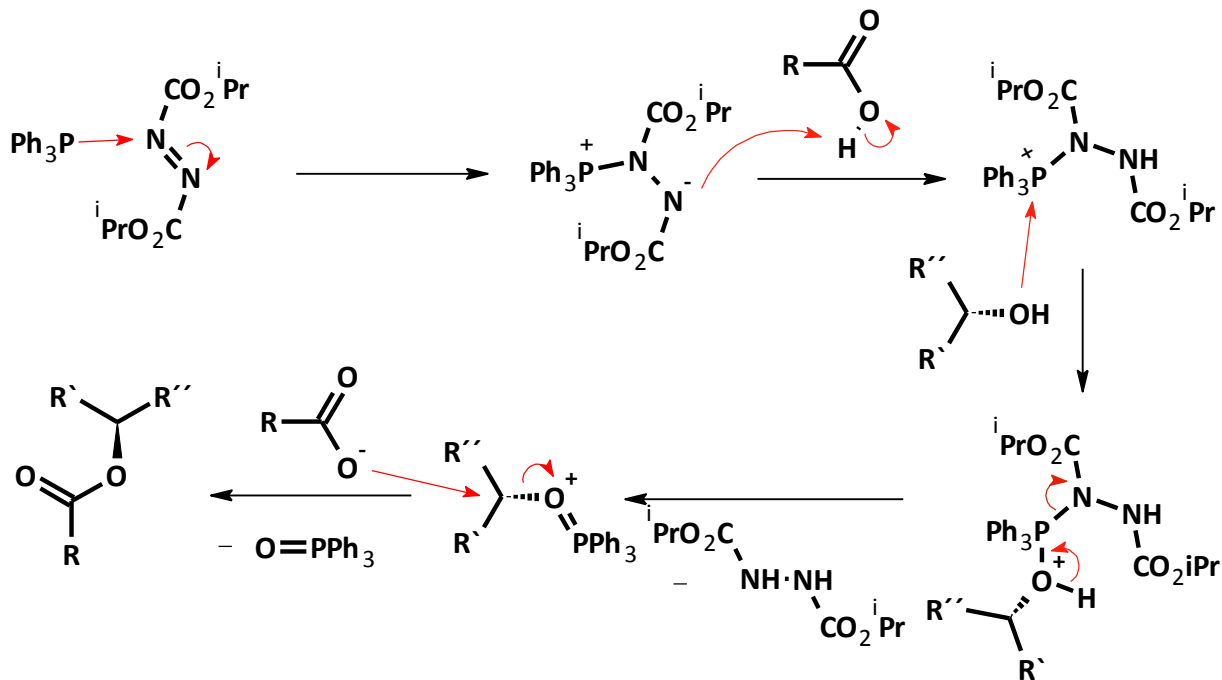
H. Fuwa, A. Saito, M. Sasaki, *Angew. Chemie* 2010, 122, 3105-3108

H. Fuwa, S. Naito, T. Goto, M. Sasaki, *Angew. Chem.* 2008, 120, 4815 – 4817.

# Darstellung von (+)-Neopeltolid 1



Mechanismusvorschlag:



R. Brückner, *Reaktionsmechanismen*, 3. Auflage, Spektrum Verlag, 97f.

# Vergleich der Vollsynthesen

Arbeitsgruppe	Jahr	Ausbeute	Stufen
Sasaki	2010	11,9%	13
Roulland	2009	6,2%	16
Scheidt	2008	2,3%	17
Sasaki	2008	8,3%	25
Kozmin	2008	8,9%	15
Maier	2008	23,0%	17 (bis Verb. 2)
Panek	2007	1,3%	19

H. Fuwa, A.Saito, M. Sasaki, Angew. Chemie 2010, 122, 3105-3108

X. Guinchard, E. Roulland, Org. Letters 2009, Vol. 11, No. 20, 4700-4703

D. W. Custar, T. P. Zabawa, K. A. Scheidt, J. Am. Chem. Soc. 2008, 130, 804-805

H. Fuwa, S. Naito, M. Sasaki, Angew. Chemie 2008, 120, 4815-4817

O. A. Ulanovskaya, J. Janjic, S. A. Kozmin, Nat. Chem. Biology 2008, Vol. 4, No. 7, 418-424

V. V. Vintonyak, M. E. Maier, Org. Letters 2008, Vol. 10, No. 6, 1239-1242

W. Youngsaye, J. T. Lowe, J. S. Panek, Angew. Chemie 2007, 46, 9211-9214

# Abkürzungsverzeichnis

Ac	Acetat
BINAP	(2,2'-Bis(diphenylphosphino)-1,1'-binaphthyl)
BOM	Benzoxymethyl
Bu	Butyl
(R)CM	(Ring-)Kreuzmethathese
CSA	Camphersulfonsäure
Cy	Cyclohexyl
DBU	1,8-Diazabicyclo[5.4.0]undec-7-en
DDQ	2,3-Dichloro-5,6-dicyano-1,4-benzochinon
DIAD	Diisopropylazodicarboxylat
DIBALH	Diisobutylaluminiumhydrid
DMAP	4-Dimethylaminopyridin
DMF	Dimethylformamid
Et	Ethyl
HMPA	Hexamethylphosphoramid
<sup>i</sup> Pr	<i>iso</i> -Propyl
(+)- <i>Ipc</i> <sub>2</sub> BOMe	Diisopinocampheolmethoxyboran
KHMDS	Kaliumhexamethyldisilazan
Me	Methyl
Mes	Mesitylen
OMe	Methoxy
Ph	Phenyl
PMBO	<i>para</i> -Methoxybenzyloxy
TBAF	Tetrabutylammoniumfluorid
TBS	<i>tert</i> -Butyldimethylsilyl
THF	Tetrahydrofuran
TIPOTf	Triisopropyltriflat
TMS	Trimethylsilyl
TsCN	Tosylcyanid